

Spurenelemente in magmatischen Prozessen

VERTEILUNG VON SPURENELEMENTEN BEI PARTIELLER AUFSCHMELZUNG

Magma-Zusammensetzung

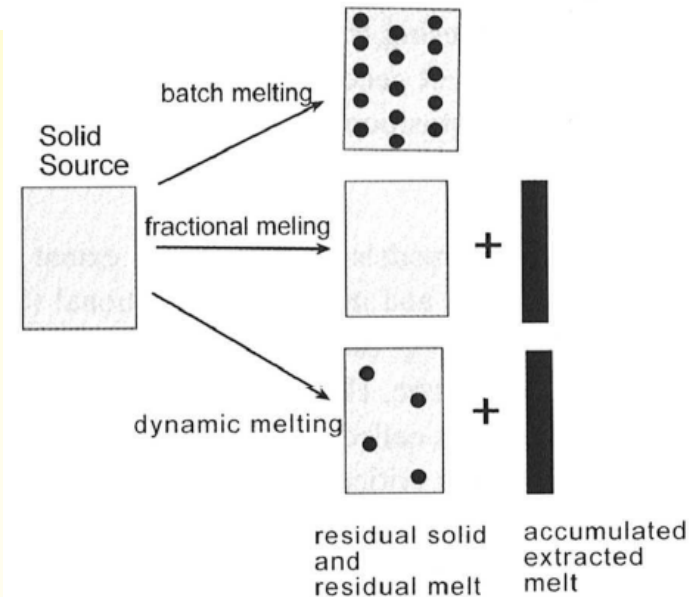
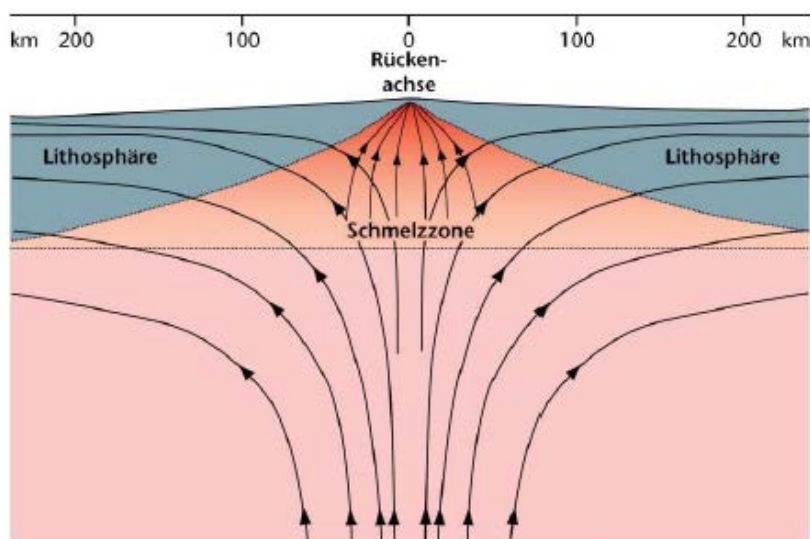


Mathematisches Modell
des Aufschmelzprozesses

Rückschlüsse auf die Magmaquelle

Modelle der Schmelzbildung

- Gleichgewichtsschmelzen = **Batch (equilibrium) melting**: Eine bestimmte Menge an Schmelze equilibriert mit dem Residualgestein
- Fraktionierte Aufschmelzung = **Fractional melting**: Die Schmelze wird sofort nach ihrer Bildung extrahiert
- Kontinuierliche Aufschmelzung = **Continuous melting**: Die Schmelze wird kontinuierlich extrahiert, aber ein Teil der Schmelze bleibt im System um die Porenräume zu füllen



Modelle der Schmelzbildung

Was für ein Schmelzbildungsprozess hat hier stattgefunden?



Modelle der Schmelzbildung

- Modal

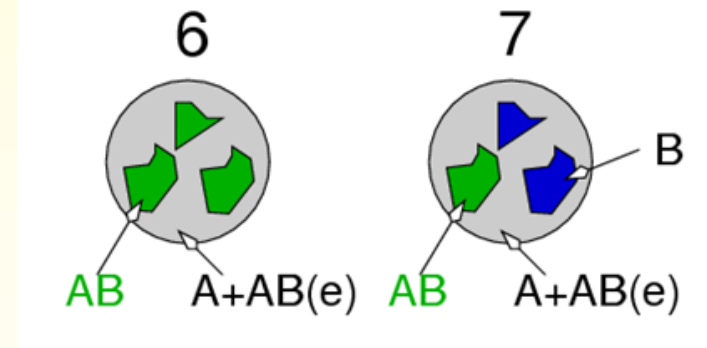
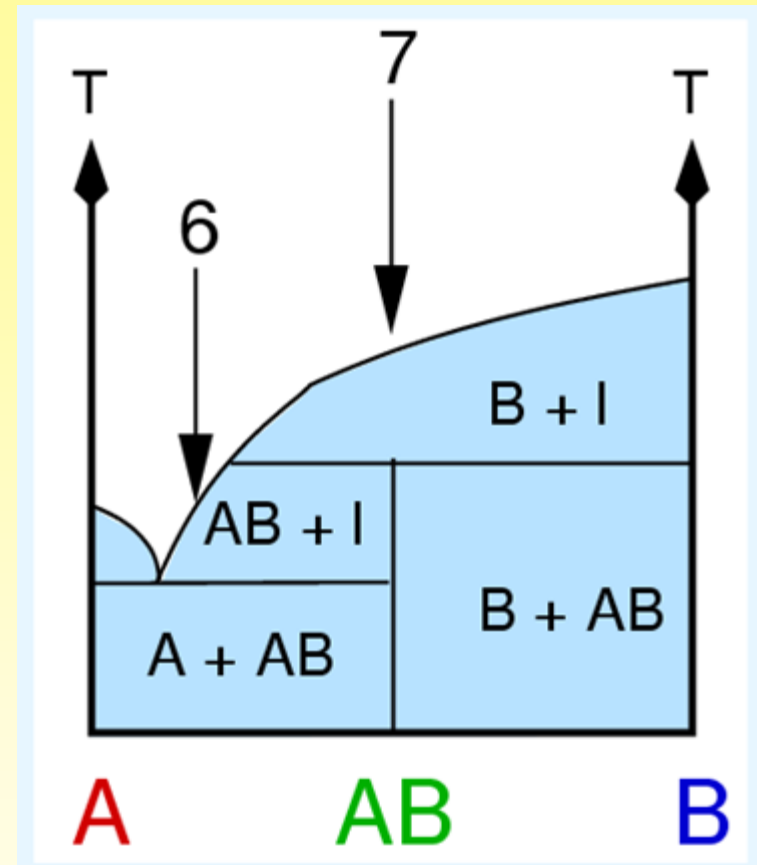
Ausgangsgestein und Schmelze haben gleiche modale Zusammensetzung

- Nicht modal (eutektisch)

Ausgangsgestein und Schmelze haben unterschiedliche modale Zusammensetzung

- Inkongruent (peritektisch)

die feste Phase reagiert mit der Schmelze. Bildung neuer Mineralphasen



Modelle der Schmelzbildung

- Schmelzbildung von Gesteinen ist oft komplexer als durch die bisherigen Gleichungen beschrieben
 - Verläuft typischerweise inkongruent
 - Minerale \rightarrow Minerale + Schmelze \rightarrow Schmelze
 - z.B. $A \text{ ol} + B \text{ cpx} \rightarrow C \text{ opx} + D \text{ liquid}$

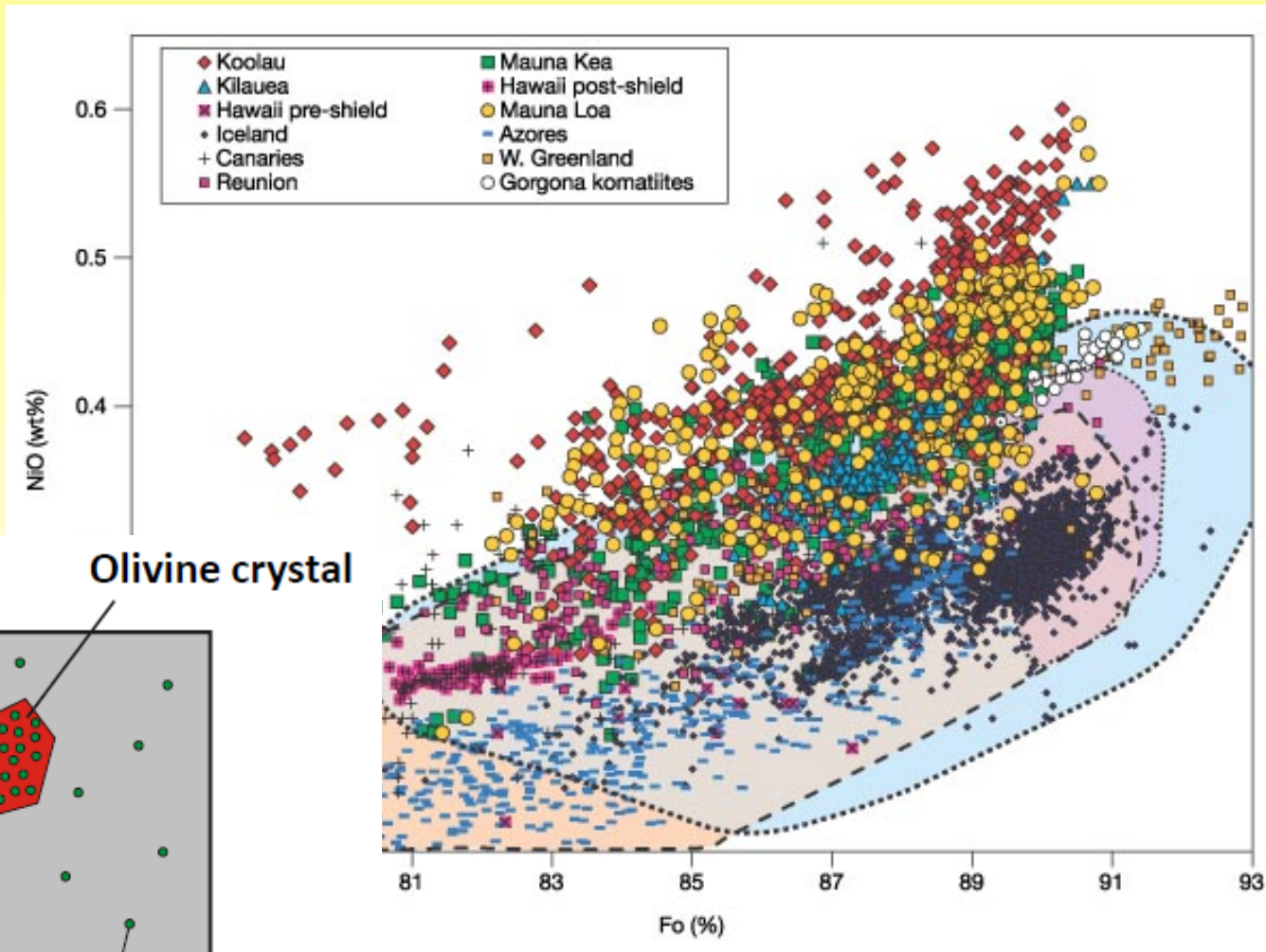
Inkongruentes Schmelzen

(non-modal melting)

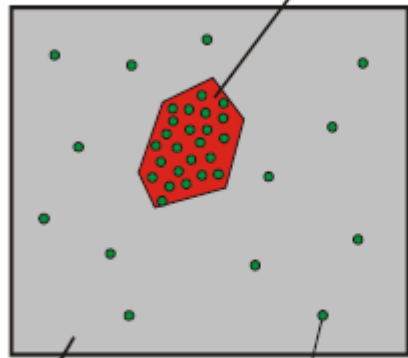
- komplexer aber realistischer
- setzt Kenntnisse über Schmelzbildungsreaktionen voraus

feste Phase reagiert mit der Schmelze. Die resultierende Schmelze hat danach einen anderen Chemismus als die feste Ausgangsphase

Hawaii – hohe Ni-Gehalte in OIBs

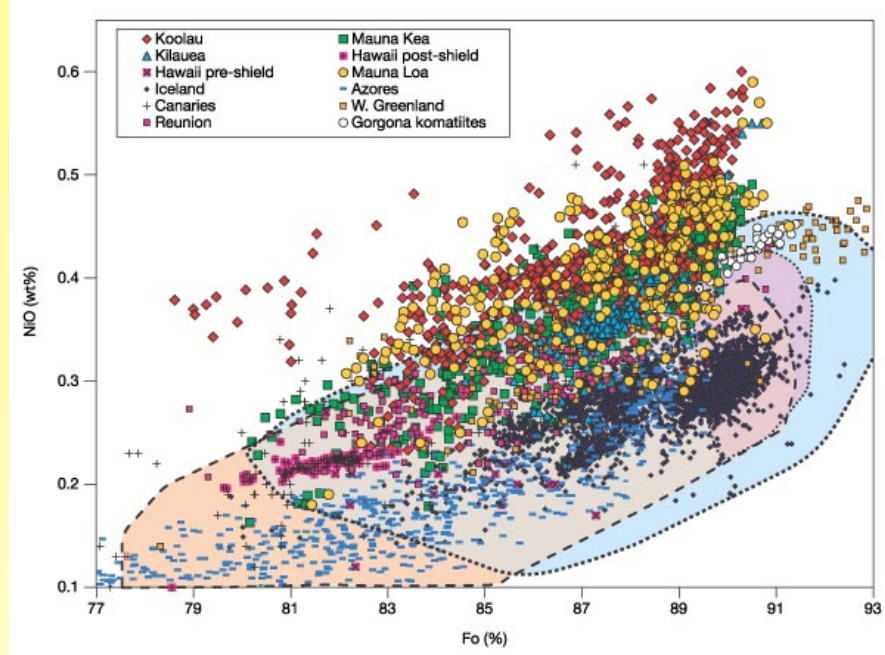
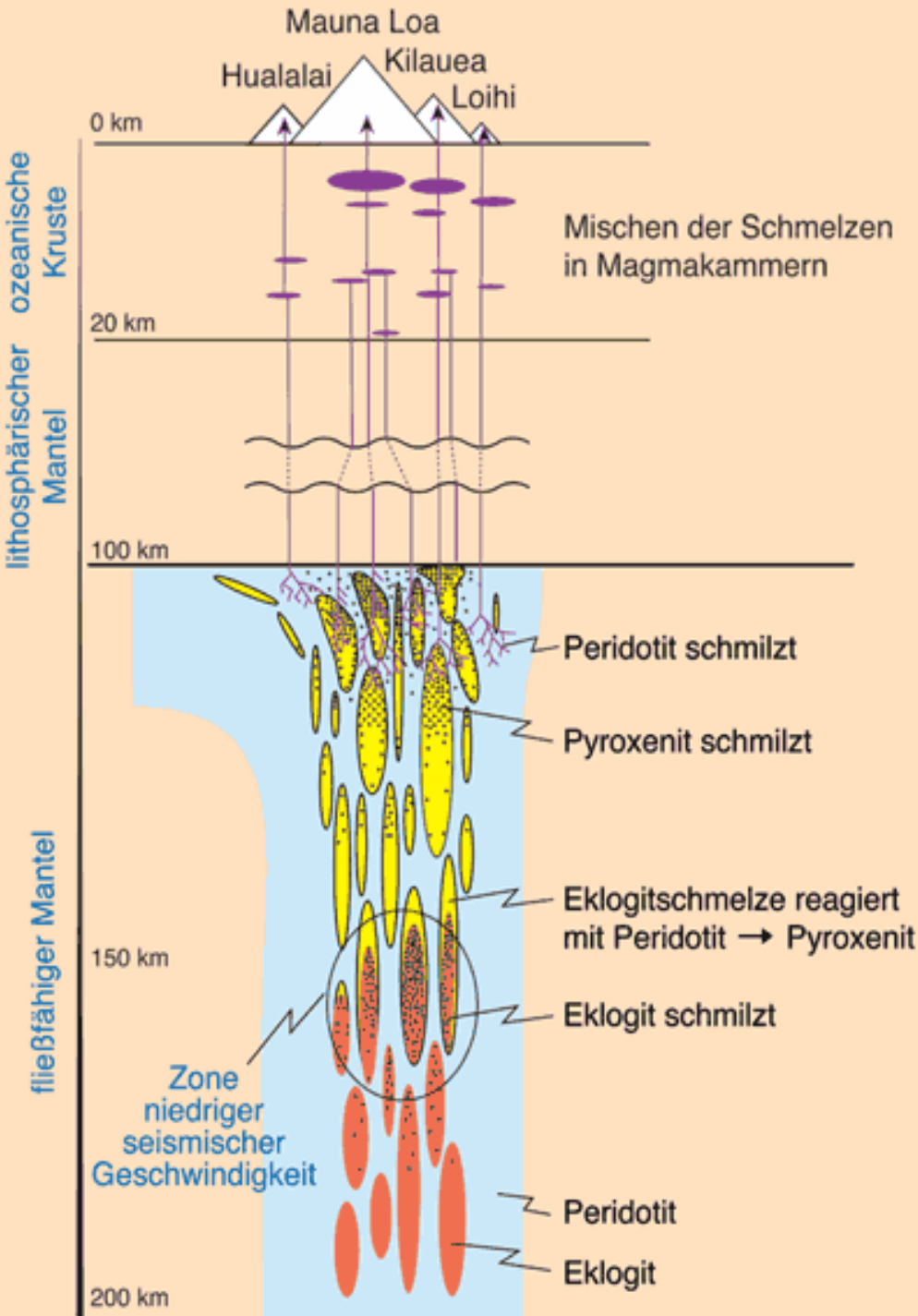


Olivine crystal



melt

Ni - Ion



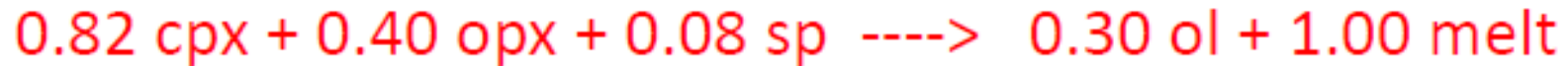
Sobolev et al. Nature 2005, vol. 434, p. 590

Modelle der Schmelzbildung

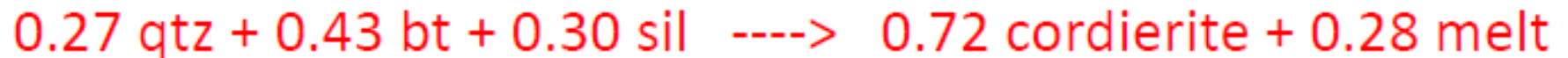
Inkongruentes Schmelzen

Beispiele:

Incongruent melting of a **spinel peridotite** at 10 kbar (1 MPa; Kinzler & Grove, 1992):



Incongruent melting of a **biotite - sillimanite - gneiss** (Zeck, 1970): :



Modelle der Schmelzbildung

Nicht-modale Aufschmelzung (Non-modal melting):

Minerale bilden die Schmelzphase nicht in den gleichen Verhältnissen, in denen sie im Gestein vorliegen

→ Verhältnisse, in denen die Minerale an der Schmelzbildung beteiligt sind, müssen bei der Berechnung berücksichtigt werden

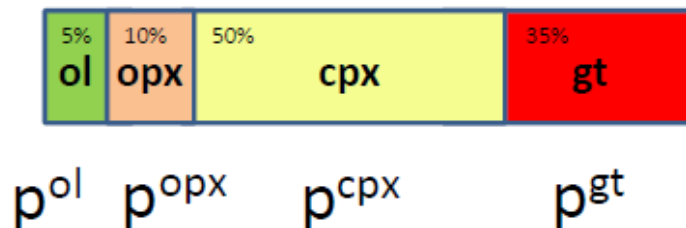
$$P_i = \sum_{\phi} p_{\phi} D_i^{\phi/l}$$

p = Anteil, in denen ein Mineral an der Schmelzbildung beteiligt ist

D_i^{ϕ} = Verteilungskoeffizient von Phase ϕ



Modal composition of the solid
(here: Lherzolite, "Pyrolite")



"Modal composition" of the melt
(i.e. eutectic composition,
here: basaltic melt)

Non modal melting

Non-modal batch melting

$$\frac{C_i^l}{C_i^o} = \frac{1}{F(1 - P_i) + D_i^o}$$

Non-modal fractional melting

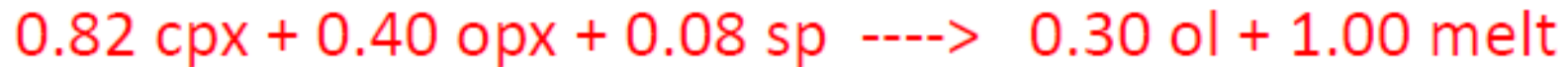
$$\frac{C_i^l}{C_i^o} = \frac{1}{D_i^o} \left(1 - \left(1 - \frac{P_i F}{D_i^o} \right)^{1/P_i} \right)$$

Modelle der Schmelzbildung

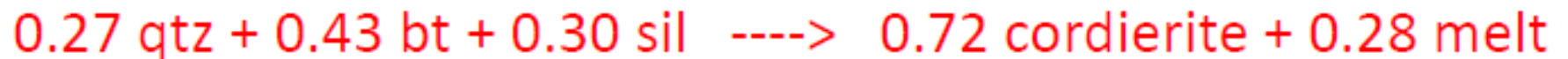
Inkongruentes Schmelzen

Beispiele:

Incongruent melting of a **spinel peridotite** at 10 kbar (1 MPa; Kinzler & Grove, 1992):



Incongruent melting of a **biotite - sillimanite - gneiss** (Zeck, 1970): :



Spurenelemente in magmatischen Prozessen

Verteilungskoeffizient:

$$Kd = \frac{C_i^{\min}}{C_i^{\text{Schmelze}}}$$

Gesamtverteilungskoeffizient D

$$D_i = x_1 Kd_i^{\min 1} + x_2 Kd_i^{\min 2} + x_3 Kd_i^{\min 3}$$

Massenbilanz:
$$C_i^o = C_i^s (1 - F) + C_i^l F$$

i = Element

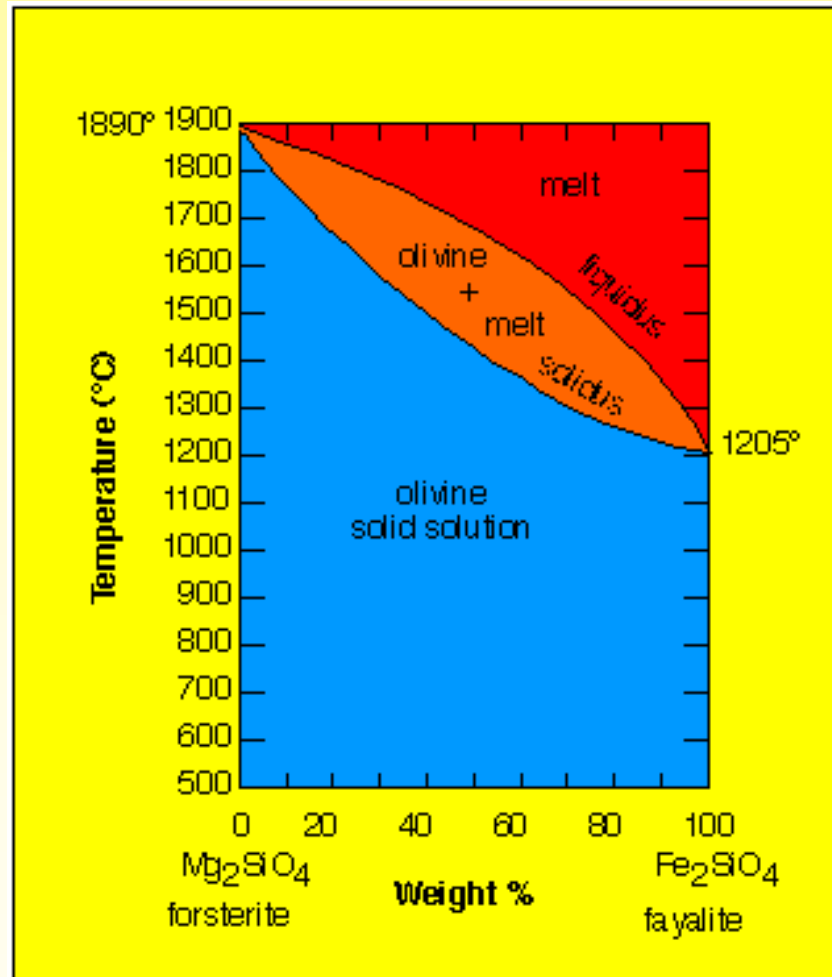
C^o = Ursprüngliche Konzentration in den festen Phasen

C^l = Konzentration in der Schmelze

C^s = Konzentration in den residualen festen Phasen nach der Aufschmelzung

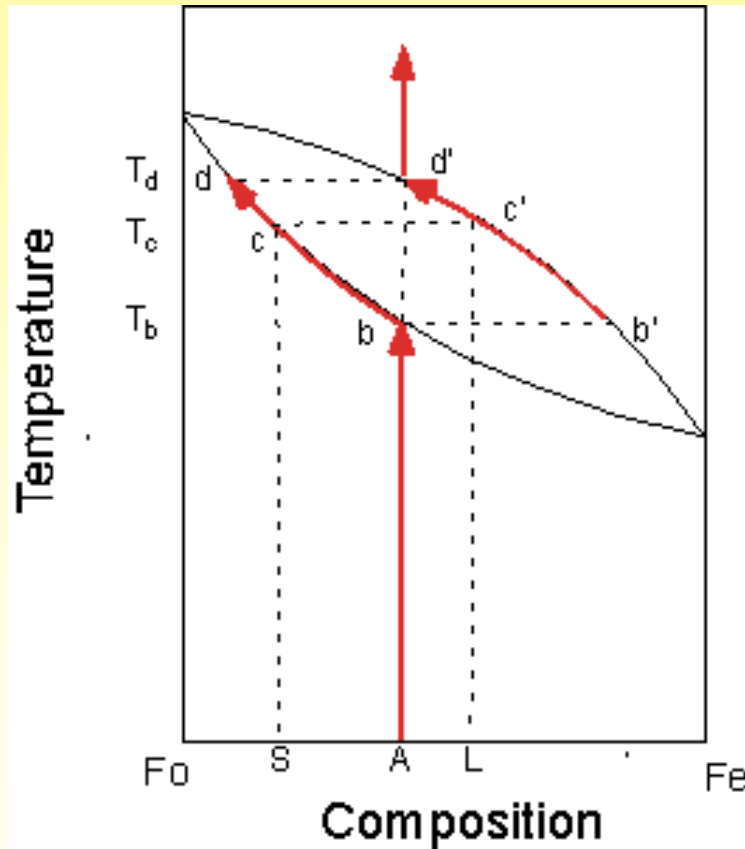
F = Aufschmelzgrad

Gleichgewichtsschmelzbildung Batch melting bzw. equilibrium melting

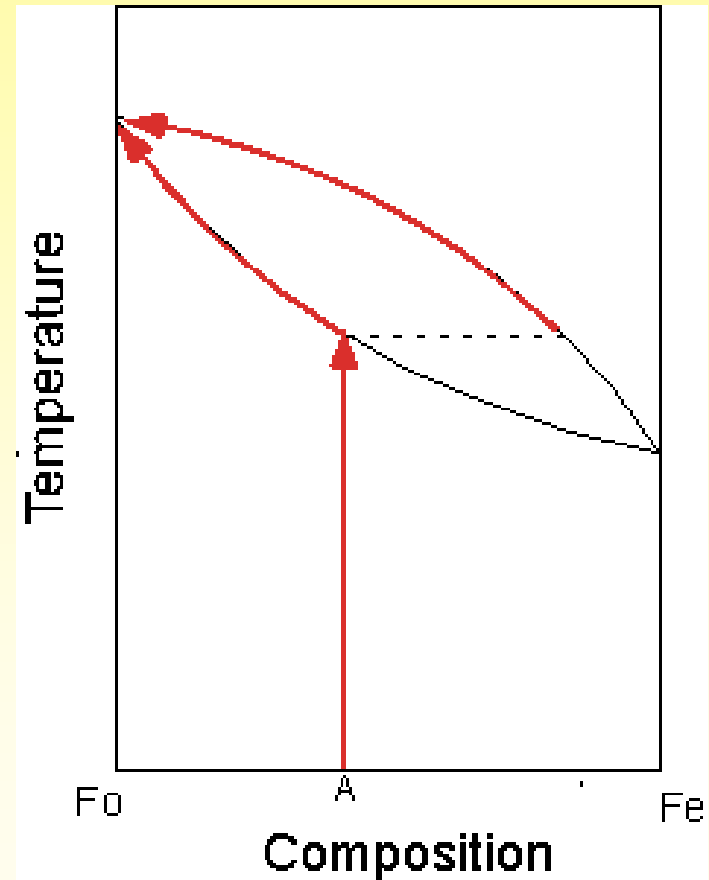


Fraktionierte Aufschmelzung

Gleichgewichts-Schmelzbildung

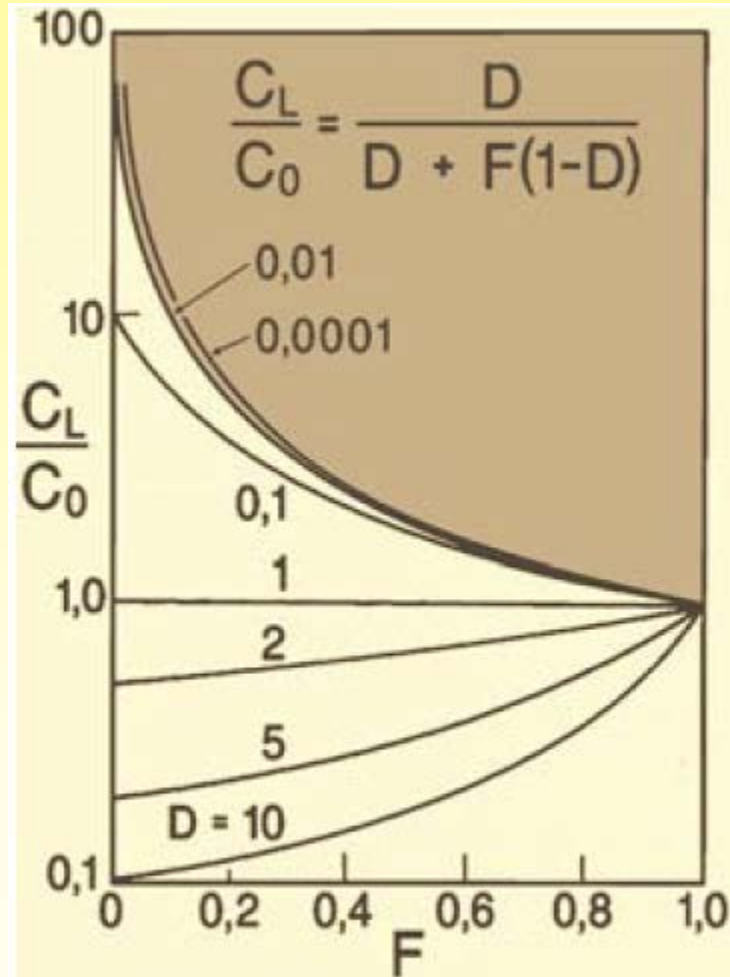


Fraktionierte Aufschmelzung

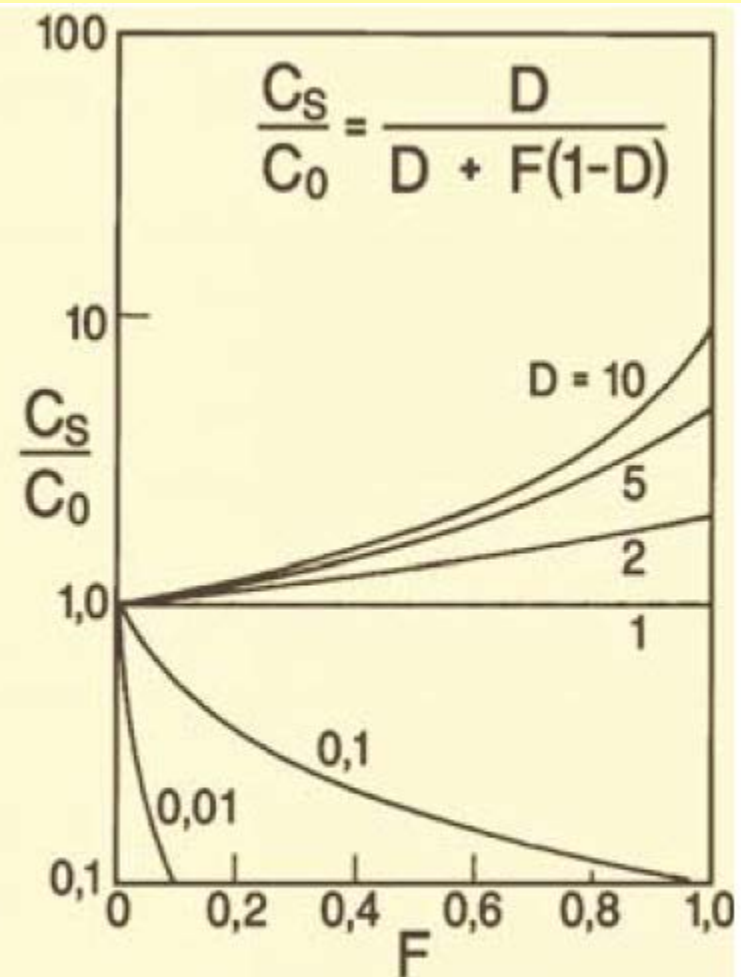


Gleichgewichtsschmelzbildung

Batch melting bzw. equilibrium melting

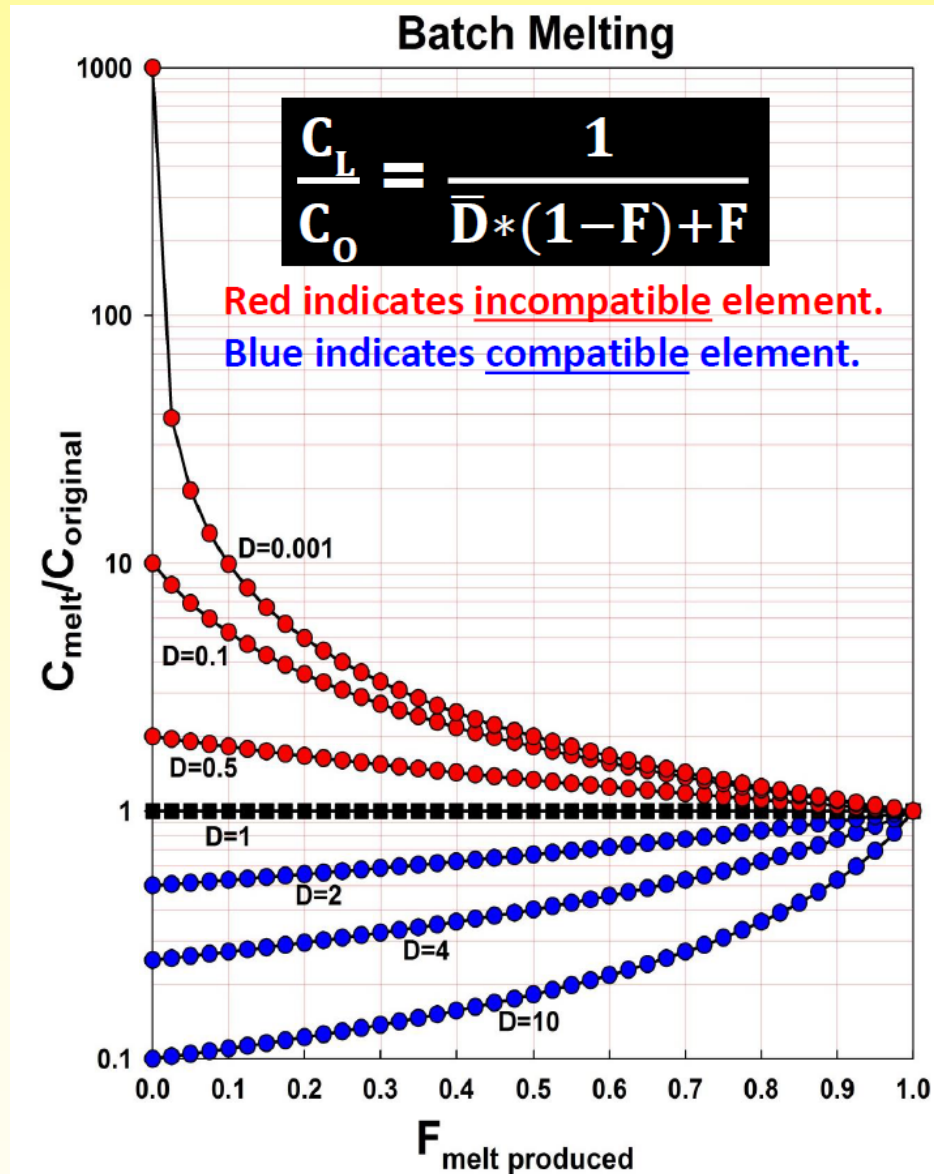


a Gleichgewichts-Schmelzen:
Schmelzen



b Gleichgewichts-Schmelzen:
Residuum

“Batch melting modeling”

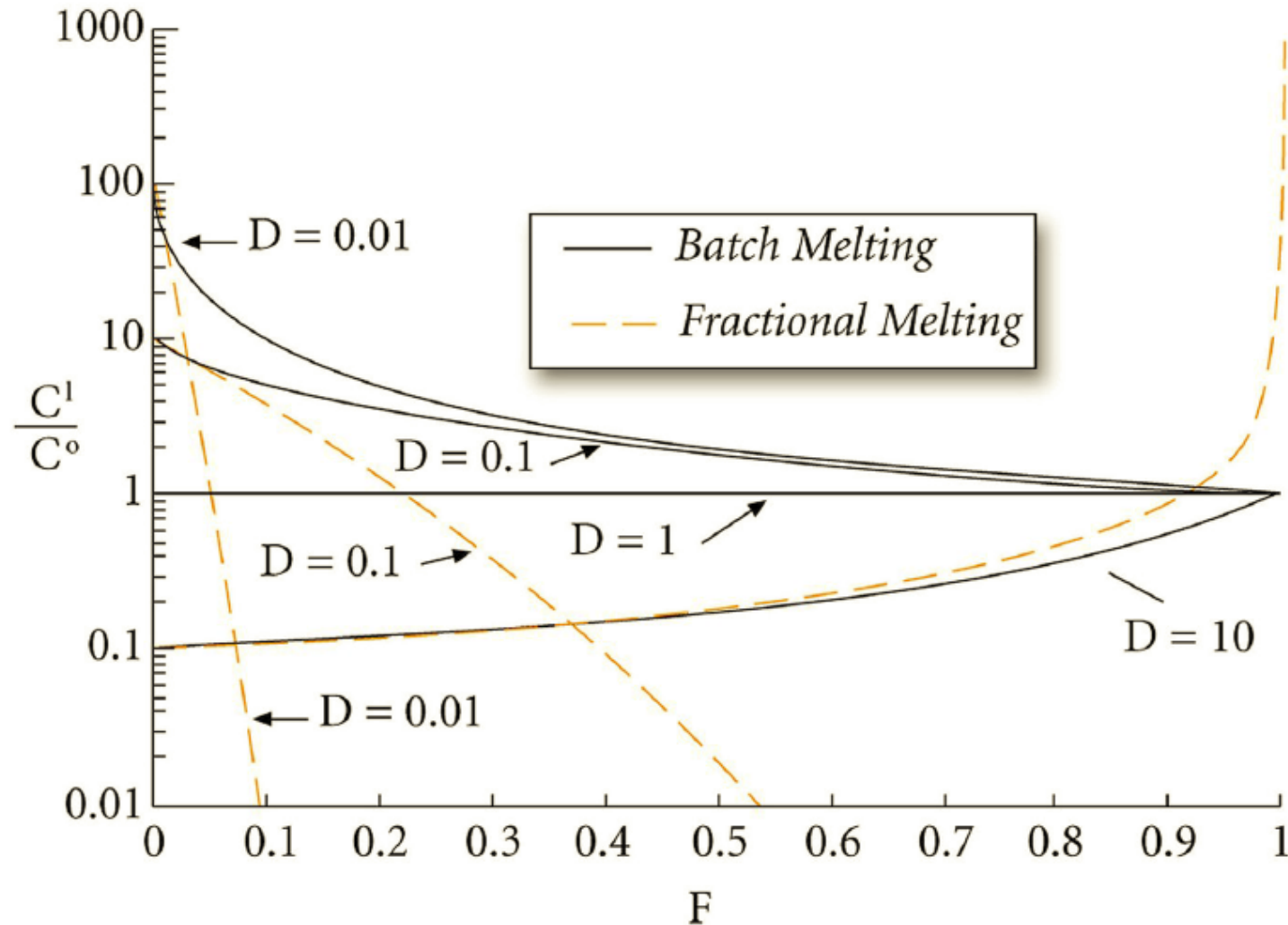


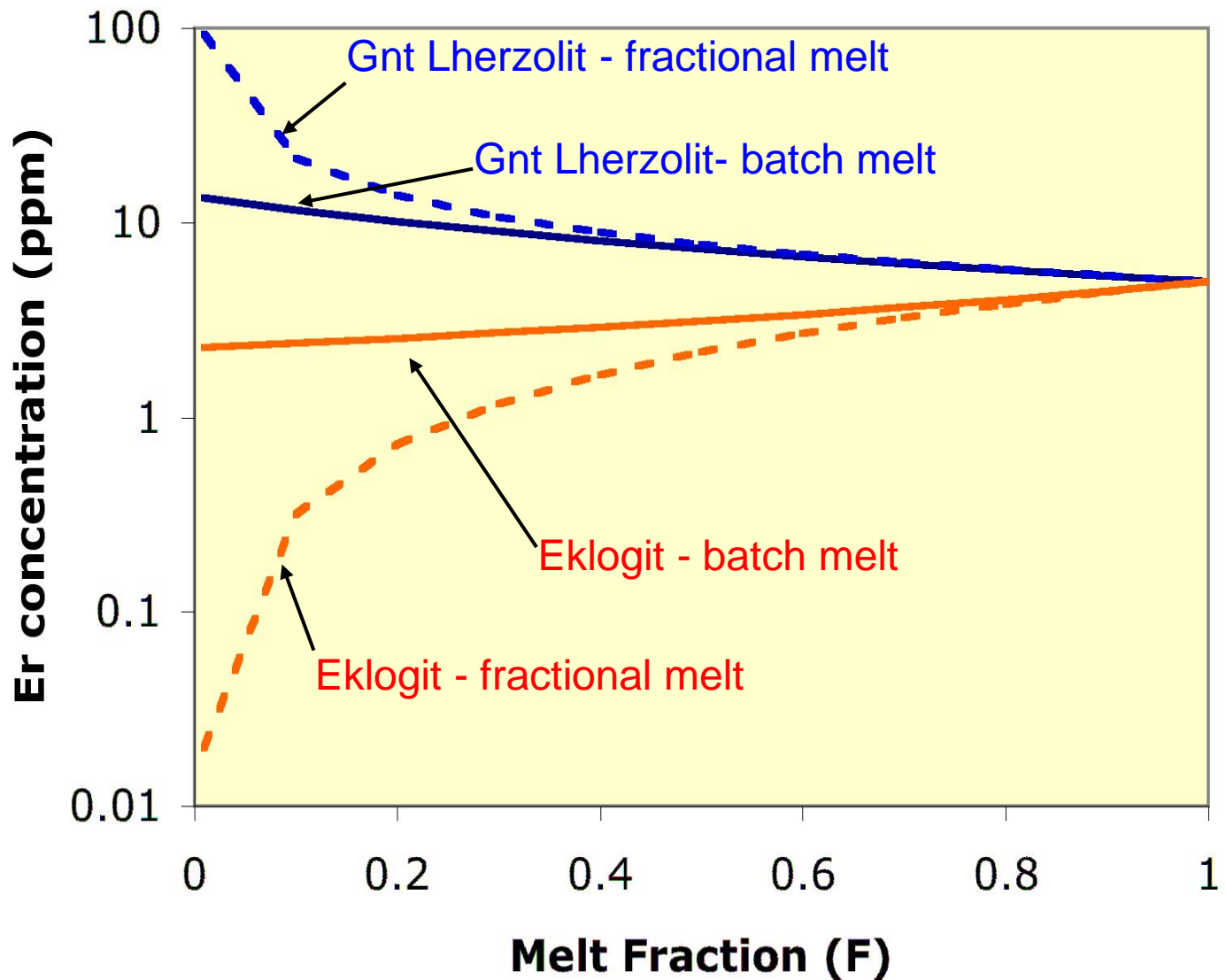
Batch melting

$$\frac{C_L}{C_0} = \frac{1}{D_{RS} + F(1 - D_{RS})}$$

Fractional melting

$$\frac{C_L}{C_0} = \frac{1}{D_0} (1 - F)^{(1/D_0 - 1)}$$



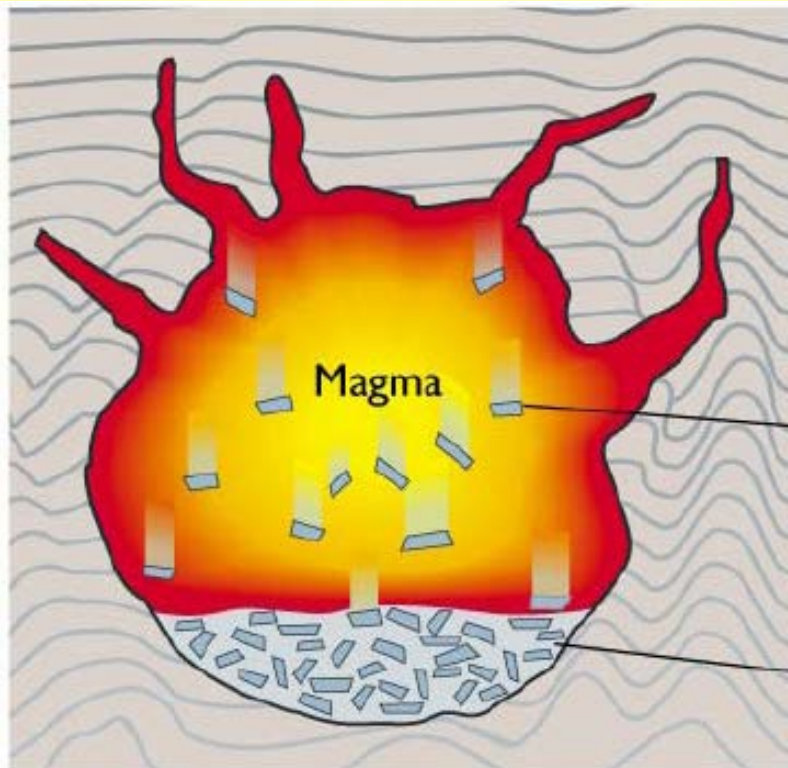


Fraktionierte Schmelzbildung führt zu extremeren Zusammensetzungen bei niedrigen Aufschmelzungsraten ($F < 0.2$)

Kristallisationsm

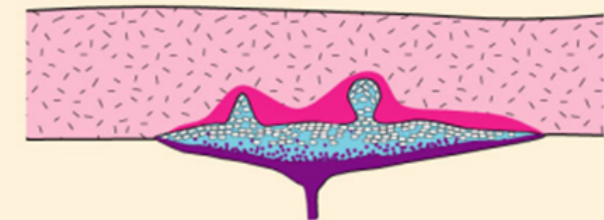
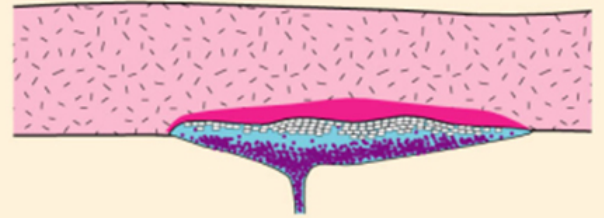
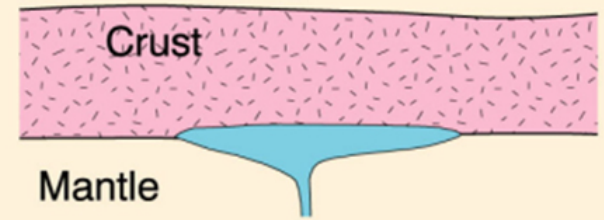
Fraktionierte Kristallisation bzw. R

Trennung zwischen Kristallen und S
durch gravitatives Absinken oder Fl



Crystals form
magma cooling
settle to floor
chamber

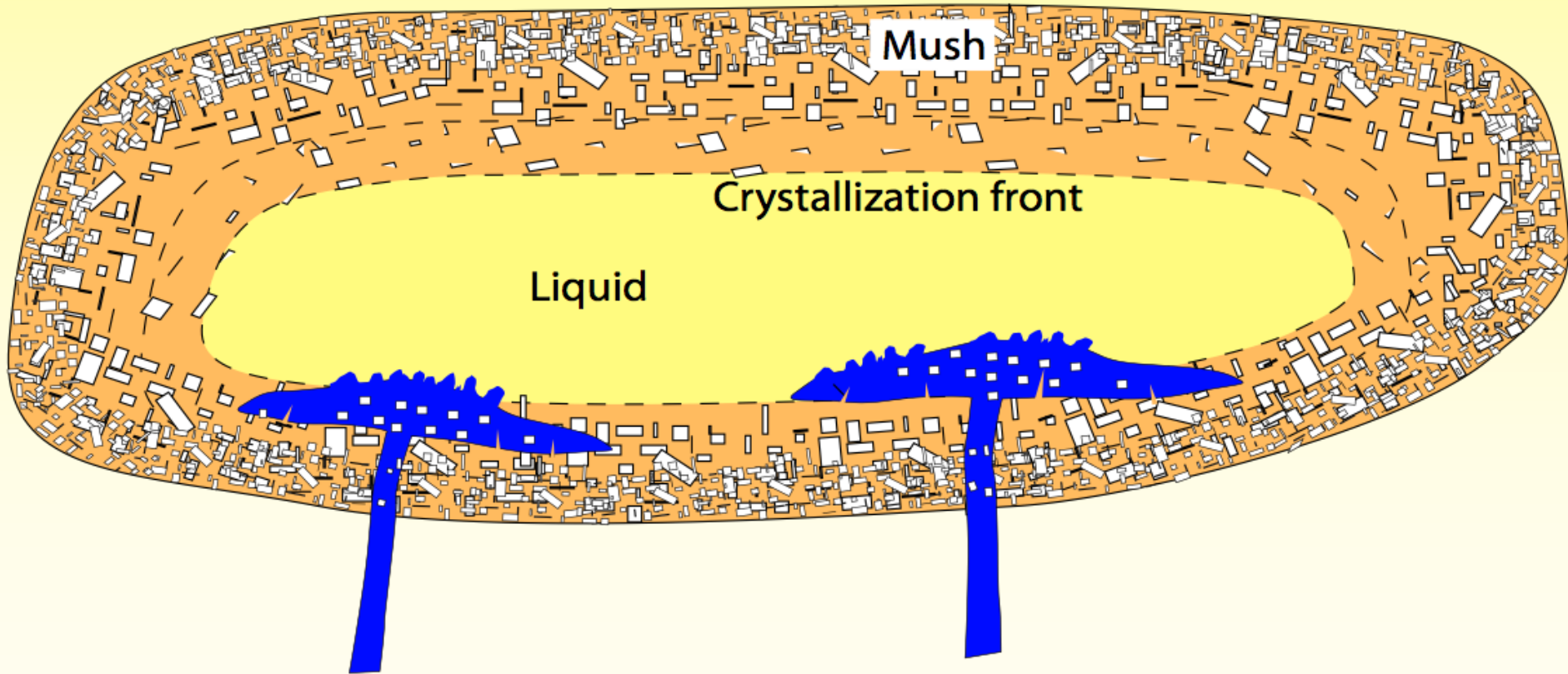
Crystals from
cooling accu



Kristallisationsmodelle

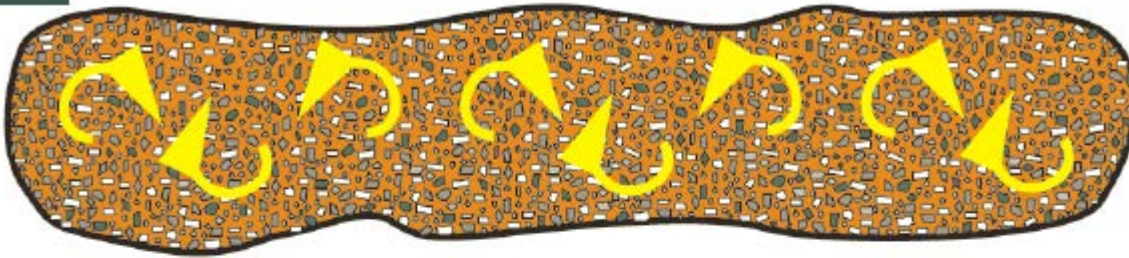
Kristallisation vom Rand zur Mitte (Kristallisationsfront)

Intrusion of mafic bodies into a crystallizing magma chamber or pluton in which a crystallization front was developed



Kristallisationsmodelle

A



(<45 vol% Kristalle
Kristallbrei, Suspension

B



(45-60 vol% Kristalle
Trennung von Kristallen
und Schmelze

C



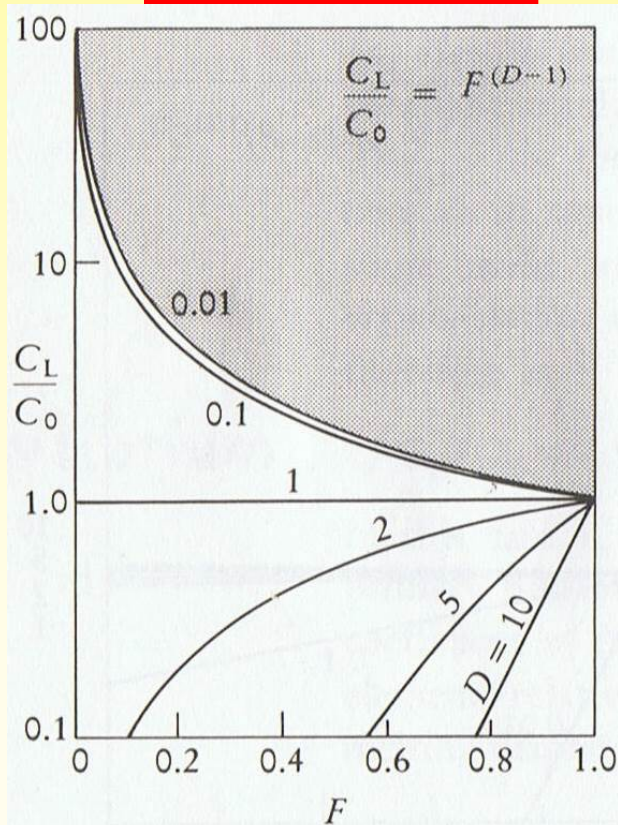
(> 60 vol% Kristalle
hohe Viskosität
geringe Permeabilität

Fraktionierte Kristallisation

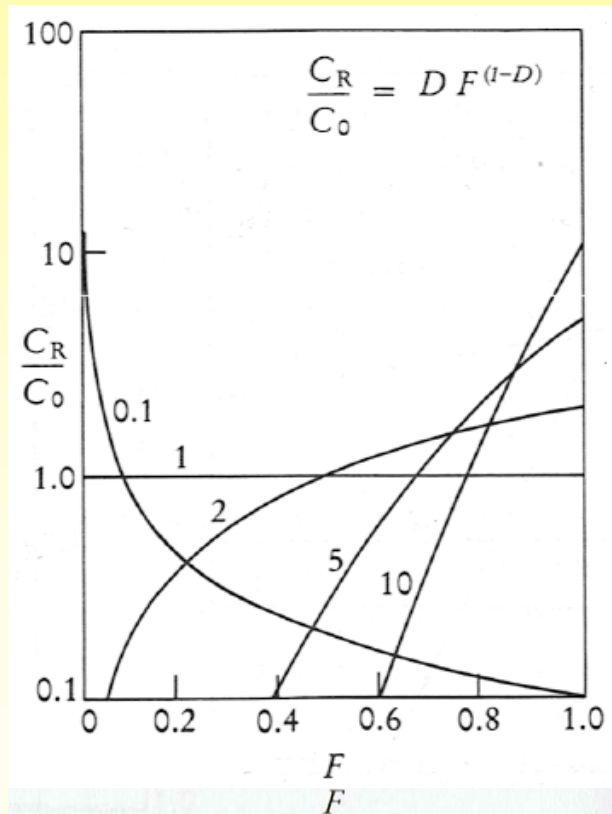
Fractional crystallization bzw. Rayleigh fractionation

$$\frac{C_L}{C_0} = F^{(D-1)}$$

$$\frac{C_R}{C_0} = DF^{(1-D)}$$



(a) Rayleigh fractionation — liquids



(c) Rayleigh fractionation — residue, instantaneous solid

Komplexe Magmakammer

Magmakammer Simulator

JOURNAL OF PETROLOGY

VOLUME 55

NUMBER 9

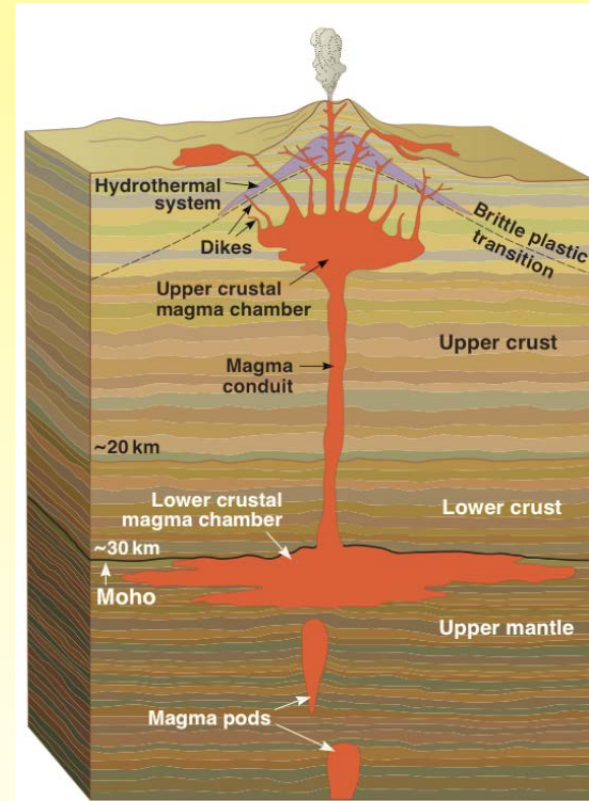
PAGES 1685–1717

2014

doi:10.1093/petrology/egy036

Thermodynamic Model for Energy-Constrained Open-System Evolution of Crustal Magma Bodies Undergoing Simultaneous Recharge, Assimilation and Crystallization: the Magma Chamber Simulator

WENDY A. BOHRSON^{1*}, FRANK J. SPERA², MARK S. GHIORSO³, GUY A. BROWN⁴, JEFFREY B. CREAMER² AND AARON MAYFIELD¹



Komplexe Magmakammer



Turkish Journal of Earth Sciences

<http://journals.tubitak.gov.tr/earth/>

Research Article

Turkish J Earth Sci
(2013) 22: 304-319

© TÜBİTAK

doi:10.3906/yer-1110-3

AFC-Modeler: a Microsoft® Excel© workbook program for modelling assimilation combined with fractional crystallization (AFC) process in magmatic systems by using equations of DePaolo (1981)

Mehmet KESKİN*

Istanbul University, Faculty of Engineering, Department of Geological Engineering, 34320 Avcılar, İstanbul, Turkey

Received: 12.10.2011 • Accepted: 29.03.2012 • Published Online: 27.02.2013 • Printed: 27.03.2013

Wallrock (assimilant)

Elemental concentration in wallrock

$$C_a$$

Isotope ratio in the wallrock

$$\epsilon_a$$

Bulk solid/liquid partition coefficient of an element between crystallizing phases and magma

$$D$$

The difference between stable isotopic ratios of crystals and magma

$$\Delta$$

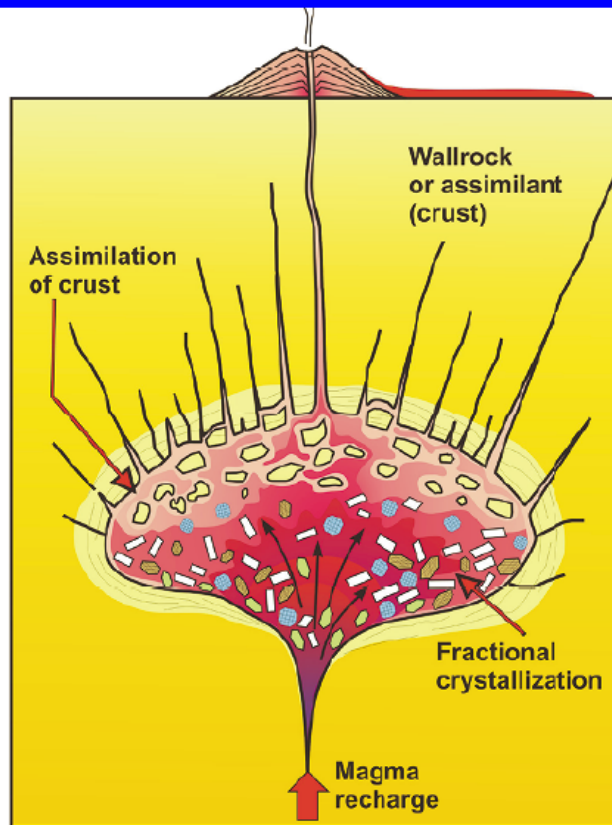
$$\Delta = \delta_{crystals} - \delta_{magma}$$

$$\approx 1000 \ln \alpha$$

Where α is the fractionation factor.

Initial stable isotope ratio in the wallrock (assimilant)

$$\delta_a$$



Magma

Mass of magma

$$M_m$$

Initial mass of magma

$$M_m^0$$

The fraction of magma remaining

$$F = \frac{M_m}{M_m^0}$$

Elemental concentration in magma

$$C_m$$

Initial elemental concentration in magma

$$C_m^0$$

Elemental concentration in crystallizing phases

$$DC_m$$

Isotope ratio in magma

$$\epsilon_m$$

Initial isotope ratio in magma

$$\epsilon_m^0$$

Stable isotopic ratio in magma

$$\delta_m$$

Initial stable isotope ratio in magma

$$\delta_m^0$$

Mass assimilation rate (mass/unit time):

$$\dot{M}_a$$

Fractional crystallization rate:

$$\dot{M}_c$$

Ratio of mass assimilation rate to fractional crystallization rate:

$$r = \frac{\dot{M}_a}{\dot{M}_c}$$

$$z = \frac{r + D - 1}{r - 1}$$

Minerals



Olivine



Plagioclase



Pyroxene



Amphibole

Übung: Elementverteilung bei magmatischen Prozessen

Zielsetzung

*In this laboratory you will use the **batch melting** and **crystal fractionation** equations to explore how the trace element compositions of magmas change during igneous differentiation.*

Terminologie

- *trace element partitioning*
- *partition coefficient*
- *bulk partition coefficient*
- *batch melting*
- *crystal fractionation*
(=*fractional crystallization*)
- *compatible, incompatible*
- *REE pattern*
- *differentiation*
- *fractionation*

Verteilungskoeffizienten

$$D = C_S / C_L$$

D = partition coefficient

*C_S = concentration of the element in the **solid** (i.e. **residuals**)*

*C_L = concentration of the element in the **liquid** (i.e. **melt**)*

Distribution Coefficients are determined:

1) Experimentally

2) Natural Systems (phenocryst/glass)

Compatible element: D > 1

Incompatible element: D < 1

Gesamt-Verteilungskoeffizient (Bulk Partition Coefficient)

$$\bar{D}_i = \sum X_A D_i^A$$

\bar{D}_i = bulk partition coefficient for element i

X_A = weight fraction of mineral A in the rock

D_i^A = partition coefficient for element i in mineral A

$$X_{\text{plag}} = 0.5 \quad X_{\text{cpx}} = 0.5 \quad D^{\text{plag/L}} = 4 \quad D^{\text{cpx/L}} = 0.2$$

Bulk Partition Coefficient D

$$= \sum X \cdot D = 0.5 \times 4 + 0.5 \times 0.2 = 2 + 0.1 = 2.1$$

Übung: “Batch melting modeling”

Batch Melting is the melting process whereby the liquid remains **in equilibrium** with the residue until the liquid is removed.

$$C_L/C_0 = 1/[D_S + F(1 - D_S)] \quad \text{bzw.} \quad \frac{C_L}{C_0} = \frac{1}{\bar{D}^*(1-F) + F}$$

$$C_S/C_0 = D_S/[D_S + F(1 - D_S)]$$

C_0 = concentration of the element in the **starting material** (in the case of mantle melting, the concentration in the **original mantle**).

C_S = concentration of the element in the **solid** (i.e. residuals)

C_L = concentration of the element in the **liquid** (i.e. melt)

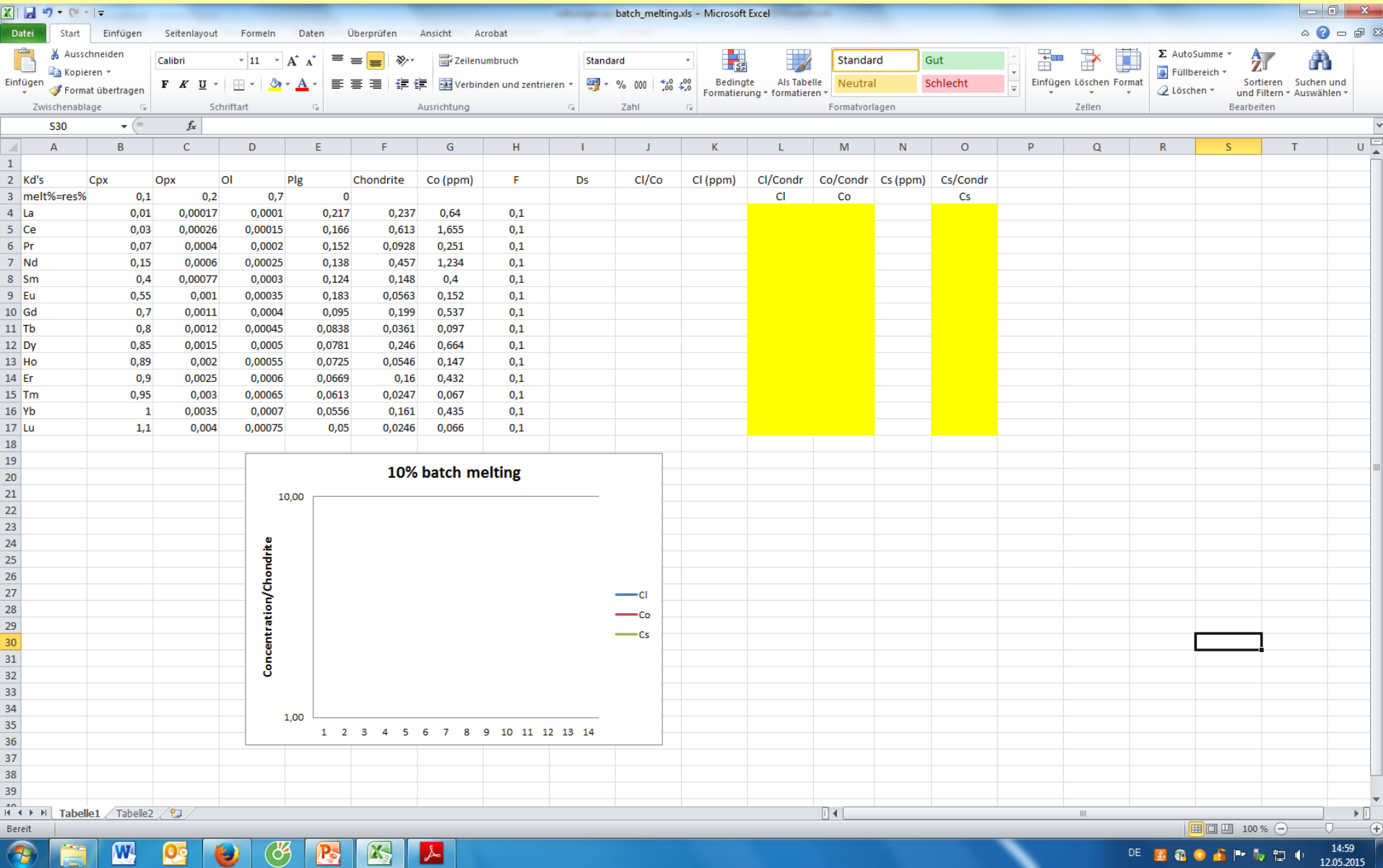
D_S = **bulk partition coefficient** for the residual mantle

F = weight fraction of **melt** produced [= melt/(melt + rock)]

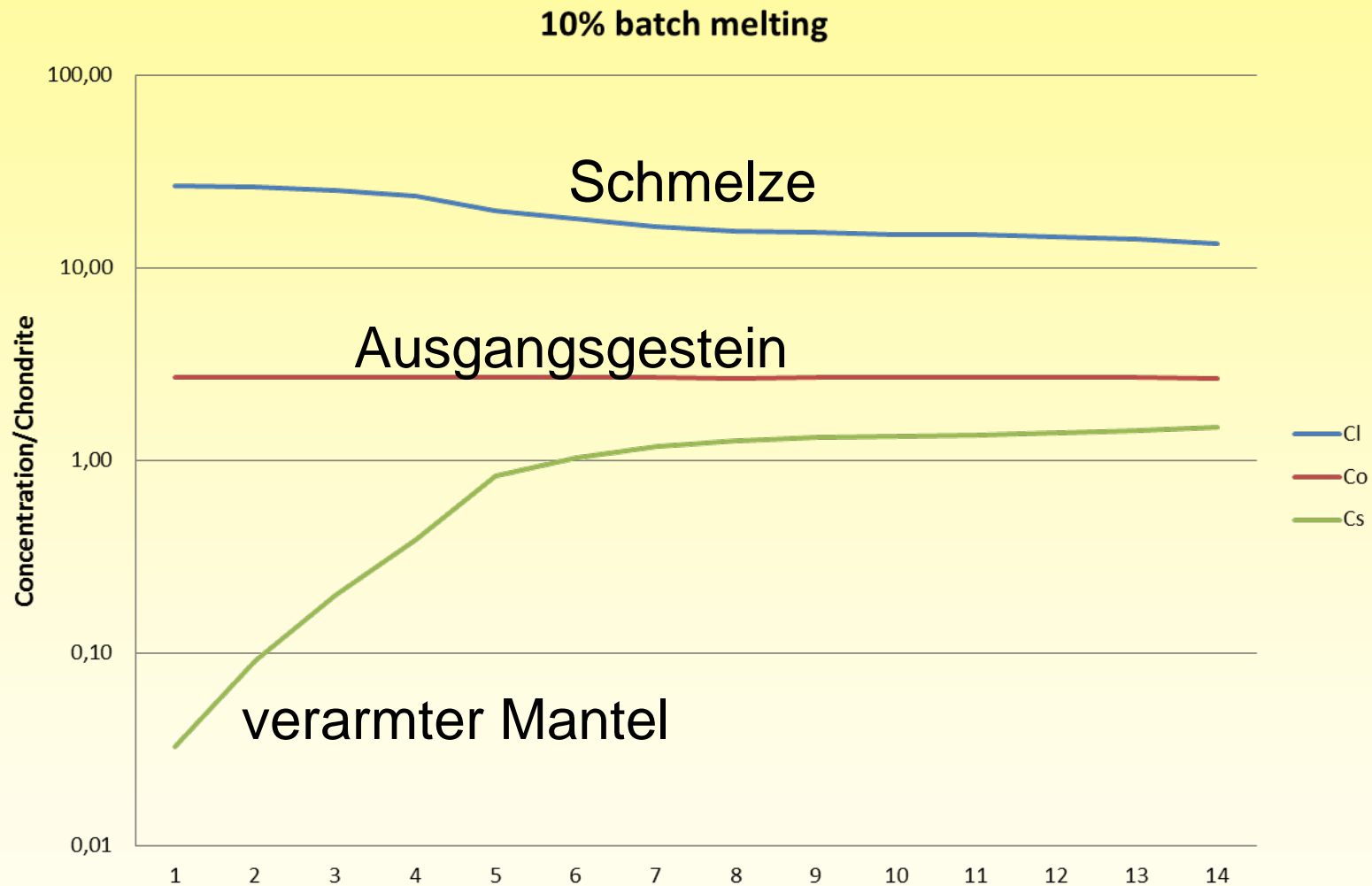
Datensatz “Batch melting modeling”

D-values	Cpx	Opx	OI	Plag	Chondrite	Co
Residue Proportion	10%	20%	70%		ppm	ppm
La	0.01	0.00017	0.0001	0.217	0.237	0.640
Ce	0.03	0.00026	0.00015	0.166	0.613	1.655
Pr	0.07	0.0004	0.0002	0.152	0.0928	0.251
Nd	0.15	0.0006	0.00025	0.138	0.457	1.234
Pm						
Sm	0.4	0.00077	0.0003	0.124	0.148	0.400
Eu	0.55	0.001	0.00035	0.183	0.0563	0.152
Gd	0.7	0.0011	0.0004	0.095	0.199	0.537
Tb	0.8	0.0012	0.00045	0.0838	0.0361	0.097
Dy	0.85	0.0015	0.0005	0.0781	0.246	0.664
Ho	0.89	0.002	0.00055	0.0725	0.0546	0.147
Er	0.9	0.0025	0.0006	0.0669	0.16	0.432
Tm	0.95	0.003	0.00065	0.0613	0.0247	0.067
Yb	1	0.0035	0.0007	0.0556	0.161	0.435
Lu	1.1	0.004	0.00075	0.05	0.0246	0.066

Berechnen Sie C_l , C_o , C_s



Übung: Schmelzbildung im Erdmantel



LSSE ----- SSEE

Datierungsmethoden und Schließungstemperatur

Closure Temp: the temperature at which a cooling mineral can no longer exchange isotopes with its surroundings

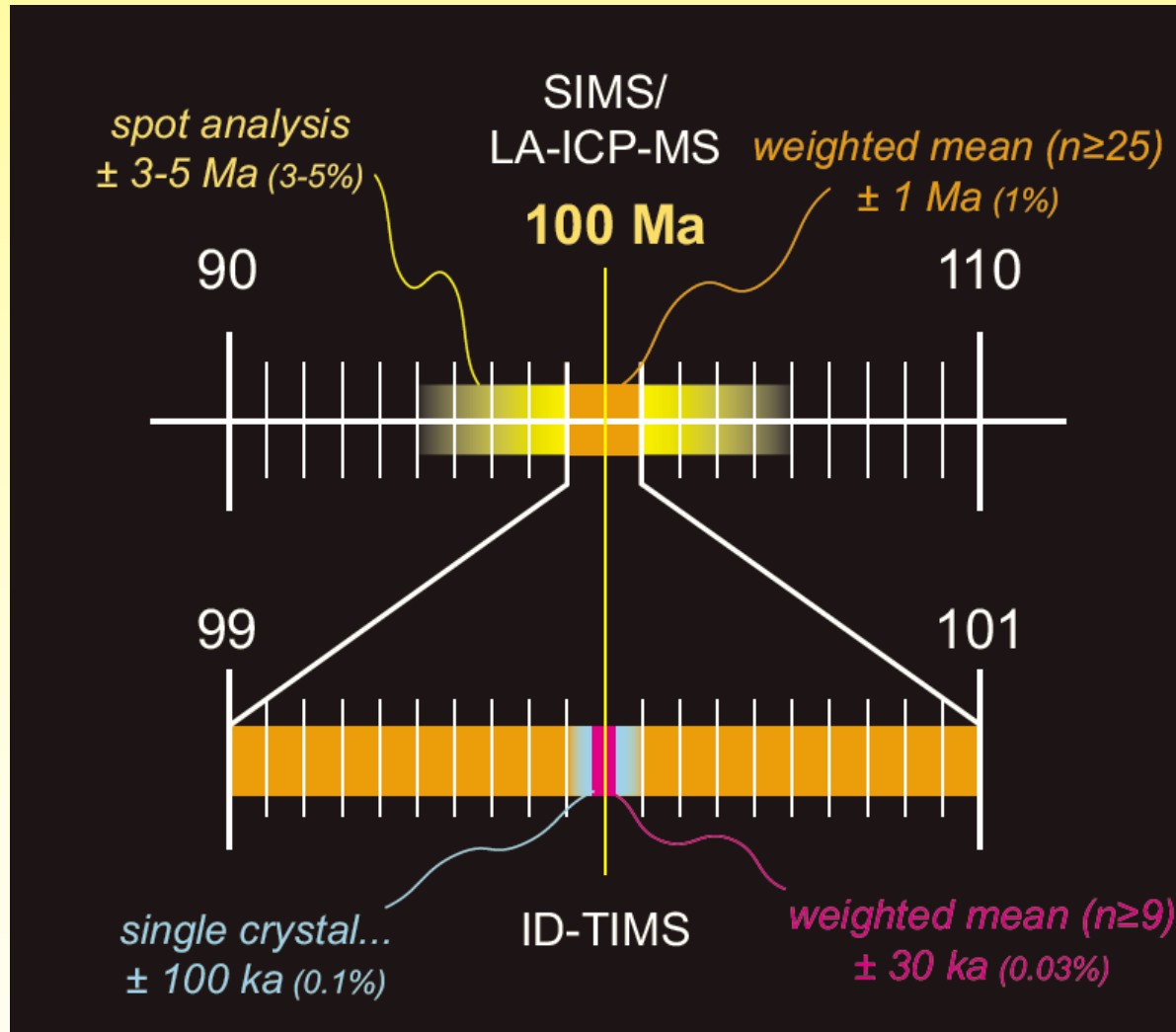
Mineral	Method	T (°C)
Zircon	U-Pb	>800
Monazite	U-Pb	>800
Titanite (Sphene)	U-Pb	600
Garnet	Sm-Nd	>550
Hornblende	K-Ar	500
Muscovite	Rb-Sr	500
Muscovite	K-Ar	350
Apatite	U-Pb	350
Biotite	Rb-Sr	300
Biotite	K-Ar	280
K-Feldspar	K-Ar	200
Apatite	Fission Track	120

Closure temperatures for common minerals for different isotopic systems. Note that closure temperatures for different systems in the same minerals can vary.

Unsicherheiten

The uncertainty of a date (age) is as important as the data (age) itself
(Ken Ludwig)

Meßgenauigkeit



Statistische Grundlagen

Mittelwert:

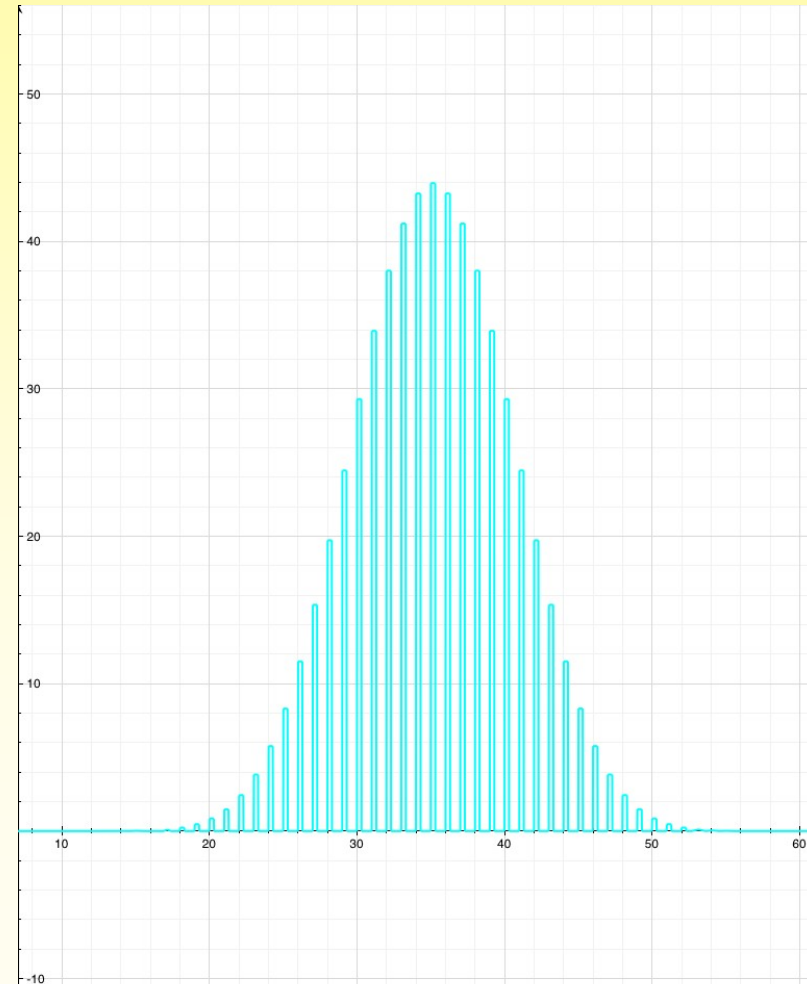
$$\bar{x} = \frac{X_1 + X_2 + X_3 \dots + X_N}{N}$$

Summe der quadrierten
Abweichungen:

$$V_x = \sum_i^N (x_i - \bar{x})^2$$

Varianz:

$$V_x = \frac{\sum_i^N (x_i - \bar{x})^2}{(N - 1)}$$



Statistische Grundlagen

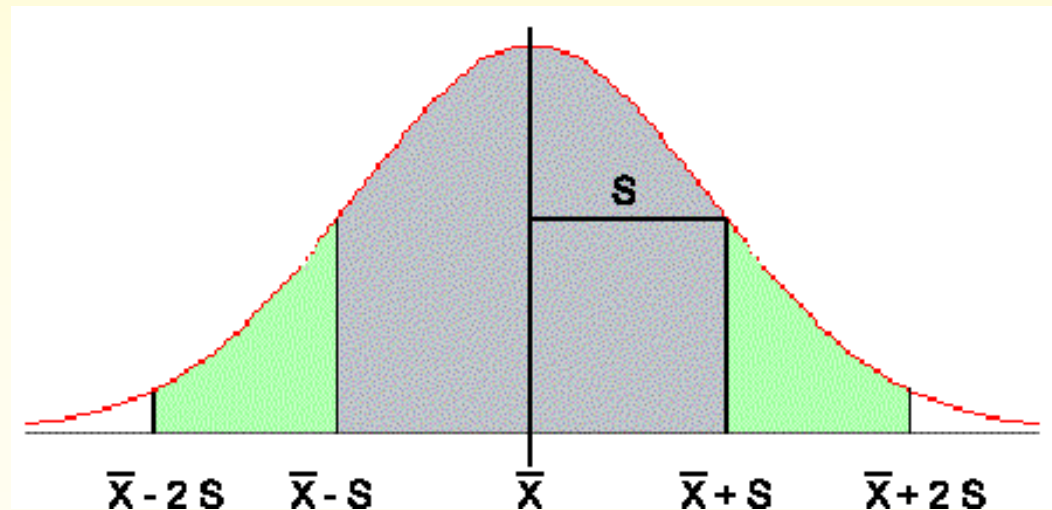
Standardabweichung: Streuung der Meßwerte um den Mittelwert:

$$\sigma_x = \sqrt{V_x} = \sqrt{\frac{\sum_i (x_i - \bar{x})^2}{(N - 1)}}$$

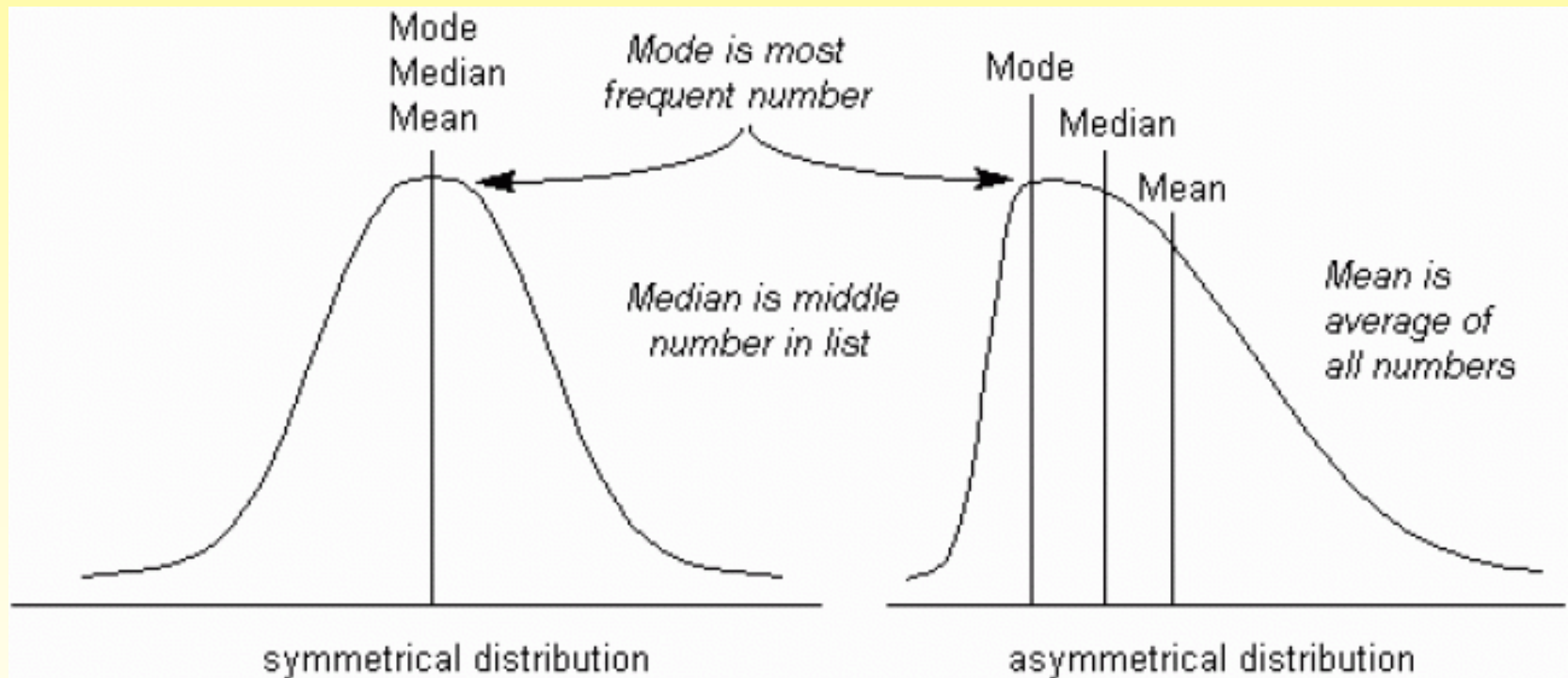
Die Abweichung des wahren Wertes vom Mittelwert sollte mit zunehmender Zahl der Messungen kleiner werden:

Fehler/Unsicherheit:

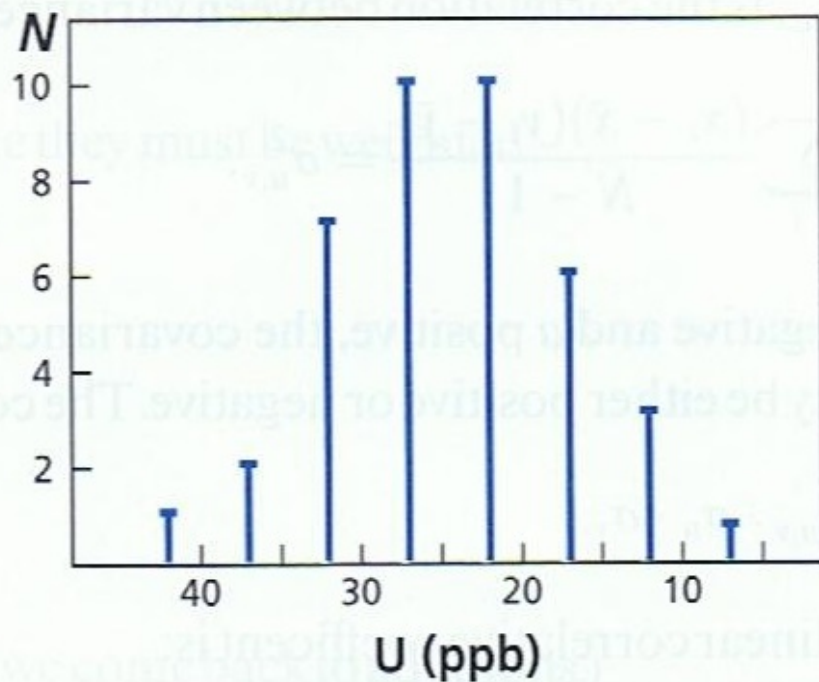
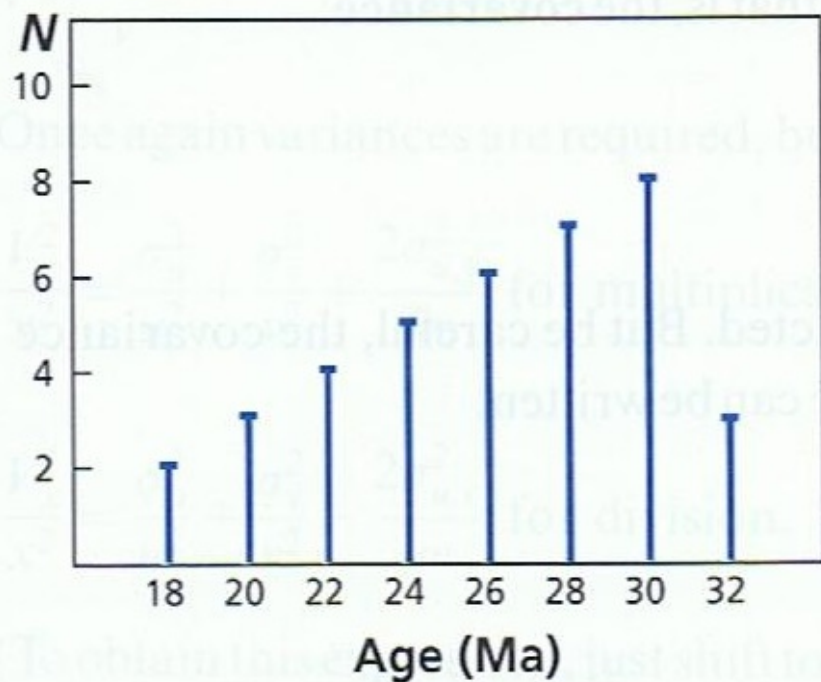
$$\Delta x = \left(\frac{\sigma_x}{\sqrt{N}} \right)$$



Modalwert (Mode), Zentralwert (Median) und arithmetisches Mittel (Mean)

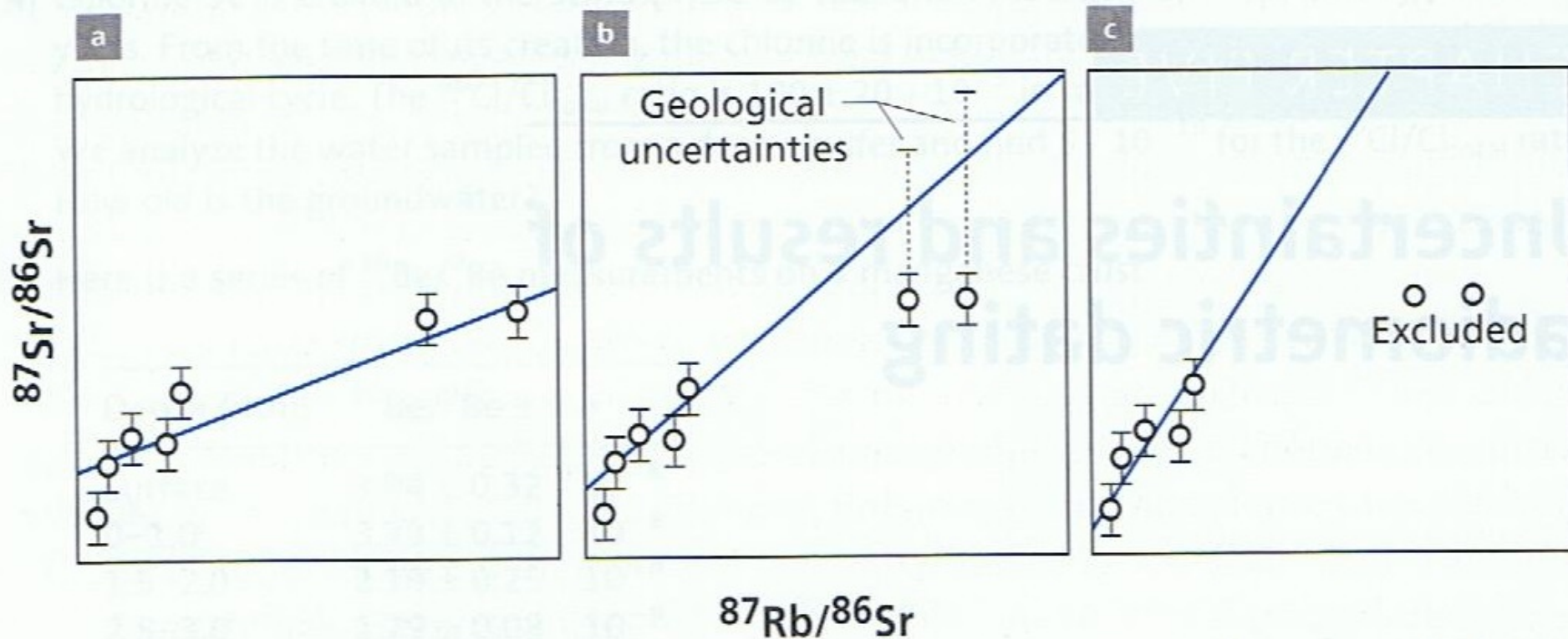


Beispiel: U—He Altersbestimmung an Magnetiten



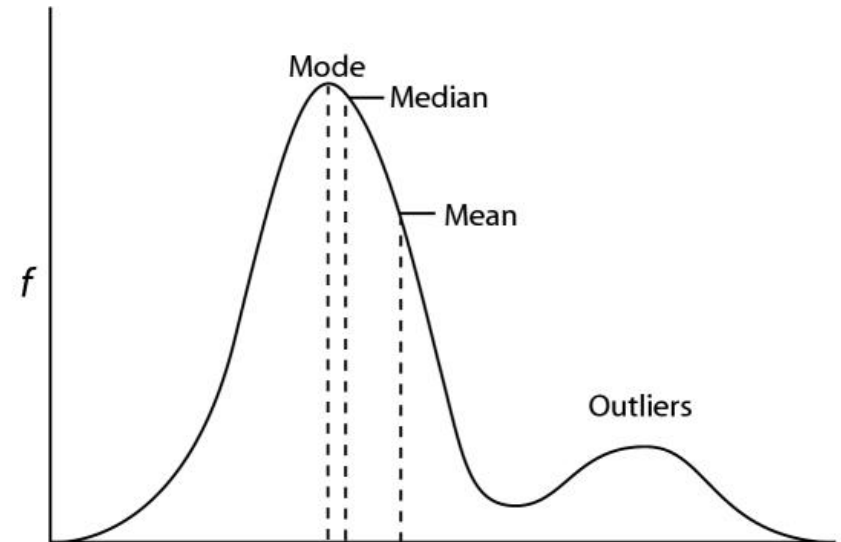
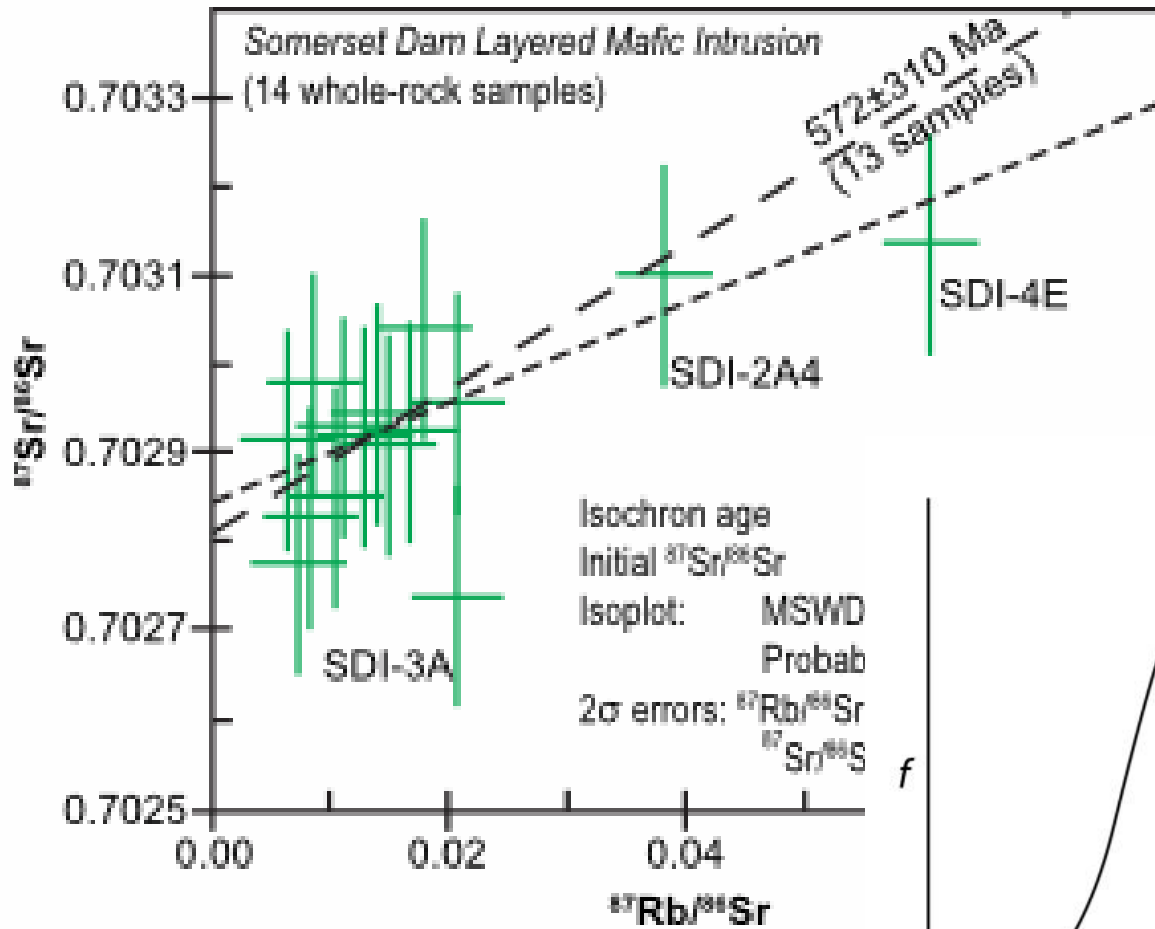
Geologische Unsicherheit

... oder das Erkennen von Ausreißern



Geologische Unsicherheit

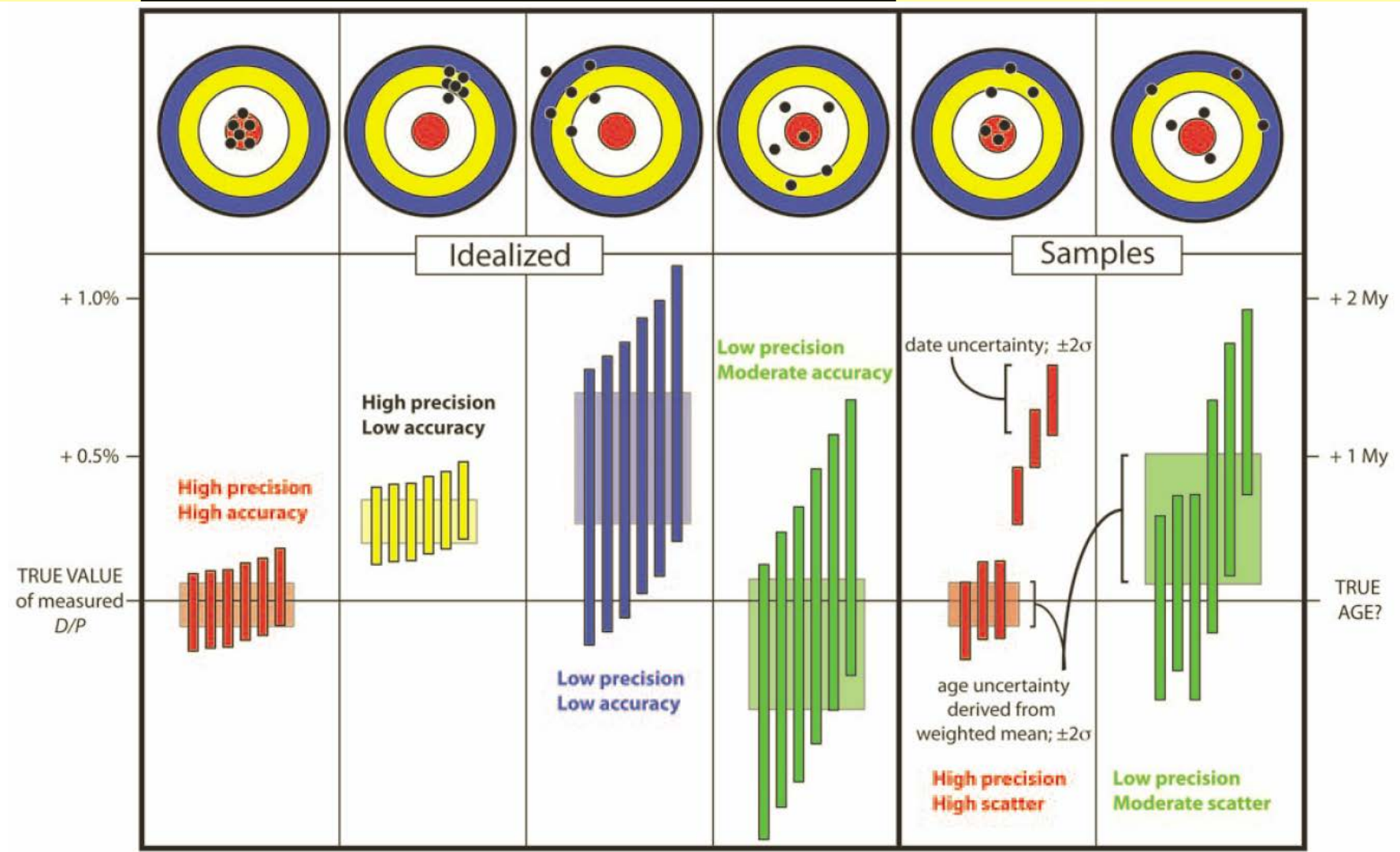
... oder das Erkennen von Ausreißern



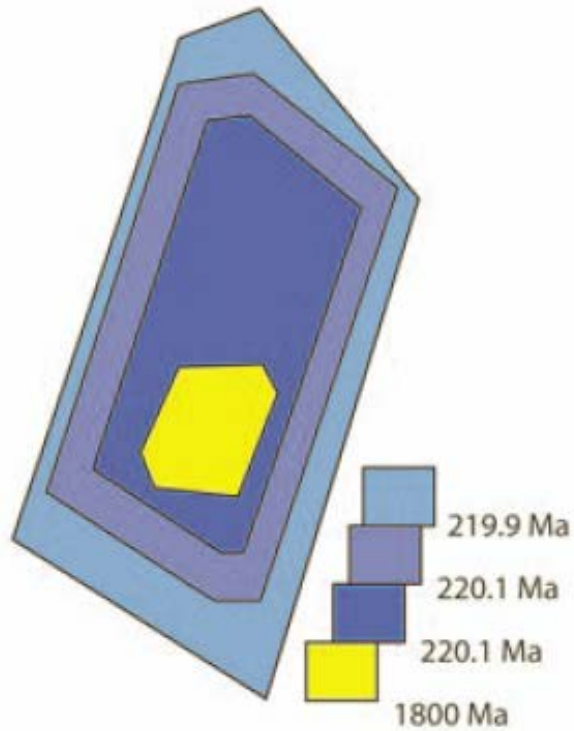
Snelling (2010) a Creationists view

Unterschied zwischen Präzision (bzw. Reproduzierbarkeit) und Genauigkeit (accuracy)

Ideale Welt	Reale Welt
--------------------	-------------------

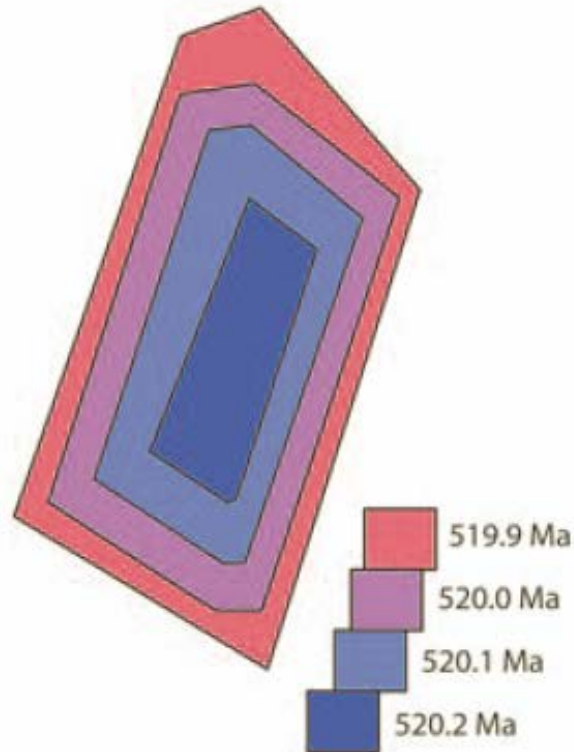


1800 Ma core with a 220 Ma overgrowth



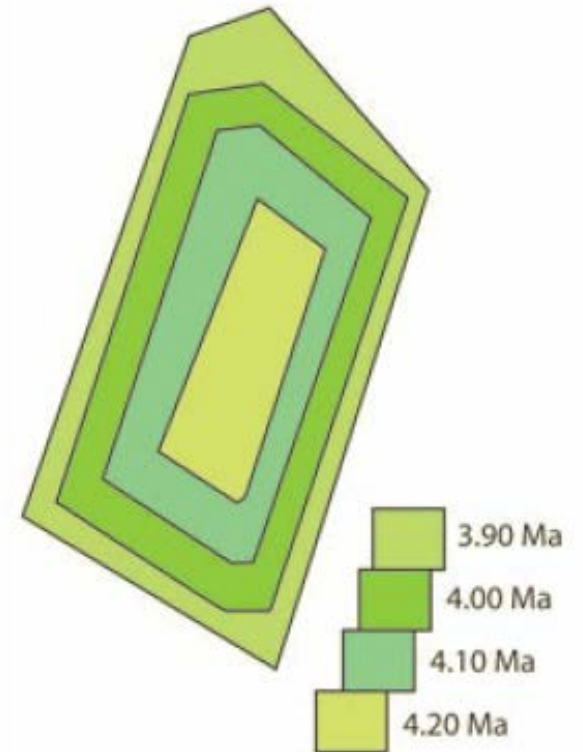
Intracrystal age variation larger than analytical precision of microbeam and ID methods: *In situ* or microsampling required

520 Ma crystal, 300 ky (0.06%) crystallization history



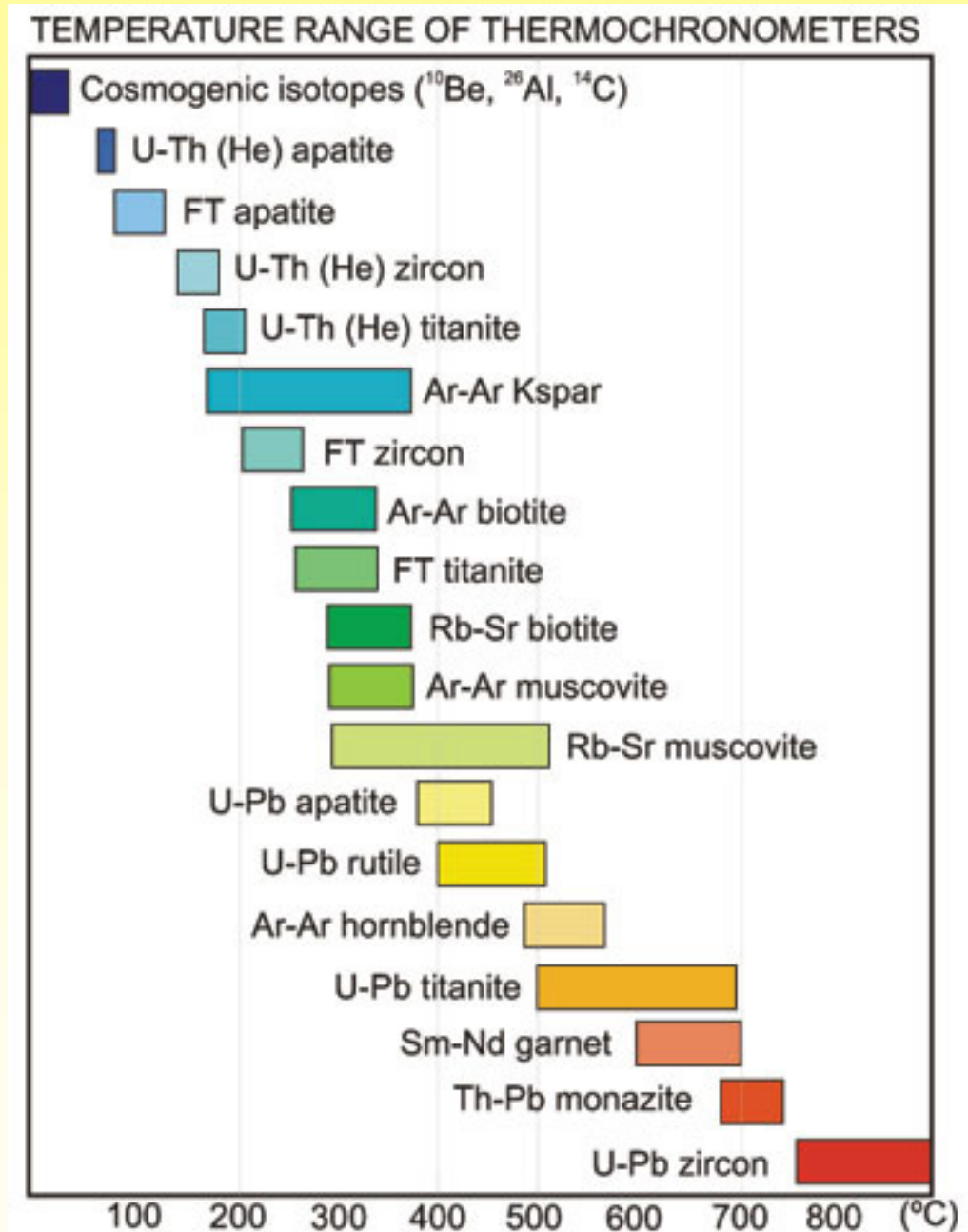
Intracrystal age variation unresolvable: *whole crystal or in situ sample dates are accurate; weighted mean ages may not be*

~4 Ma crystal, 300 ky (7.5%) crystallization history



Intracrystal age variation exceeds analytical precision of microbeam and ID methods: *In situ* or micro-sampling can resolve growth history

Datierungsmethoden und Schließungstemperatur



Welche Art von Alter?

Bildungsalter (Entstehungsalter)

oder ererbtes (inherited) Alter?

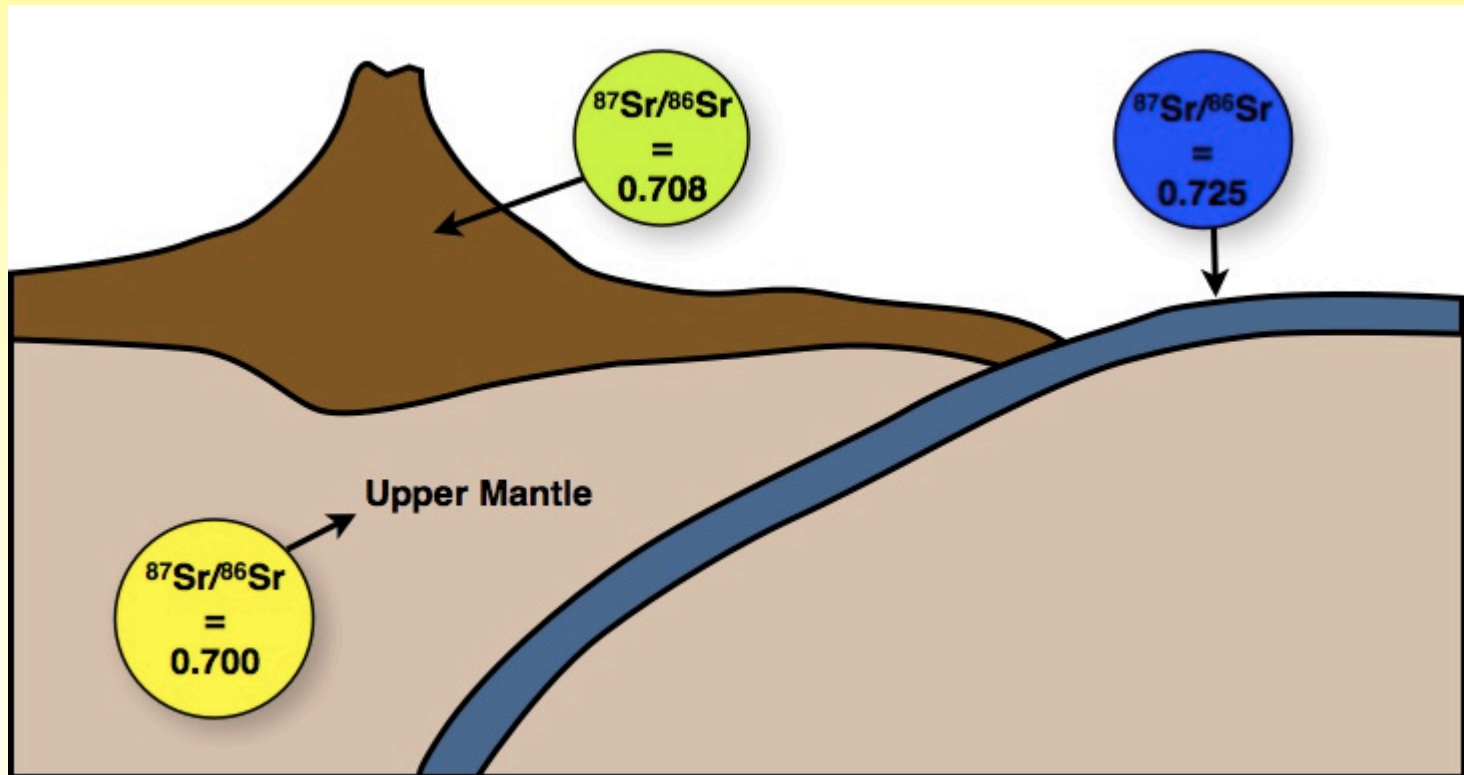
Abkühlungsalter (Abkühlalter) oder

Metamorphosealter (Aufheizungsalter)?

Hebungsalter (bei Spaltspuren)

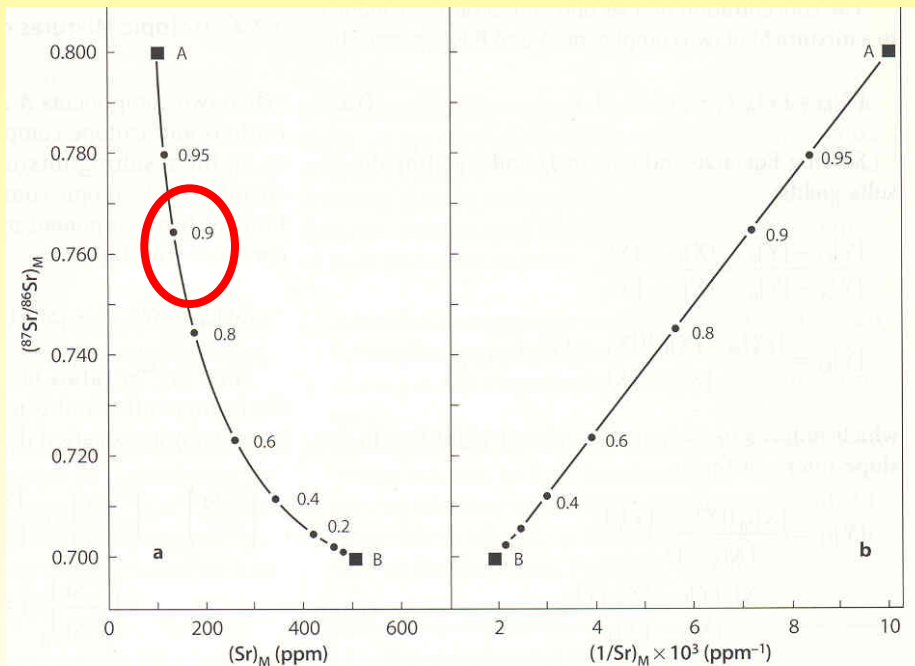
Welches Mineral oder Gestein wurde mit welcher Methode datiert?

Element- und Isotopenmischung



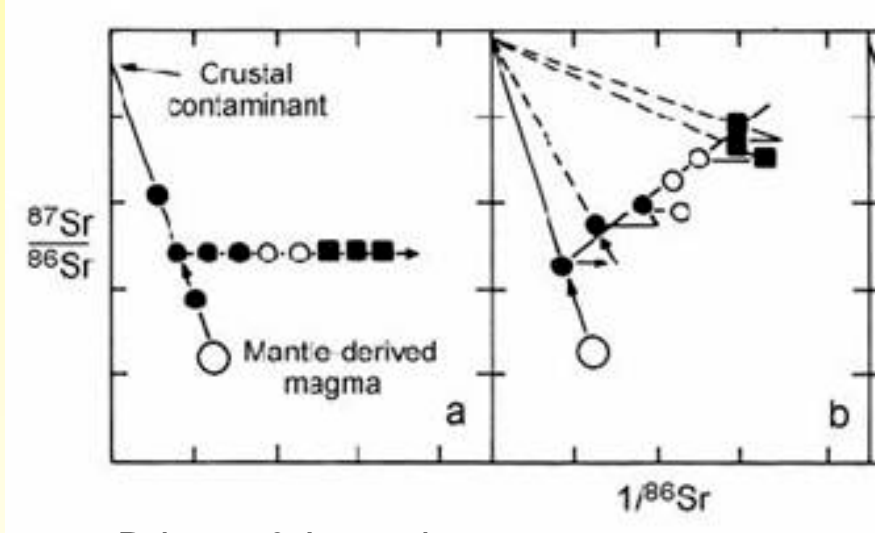
Binäre Mischungen

	Component A	Component B
Sr	100 ppm	500 ppm
$^{87}\text{Sr}/^{86}\text{Sr}$	0.800	0.700



$$\left(\frac{^{87}\text{Sr}}{^{86}\text{Sr}}\right)_M = \frac{0.8 \times 100 \times 0.9 + 0.7 \times 500(1 - 0.9)}{100 \times 0.9 + 500(1 - 0.9)} = 0.764$$

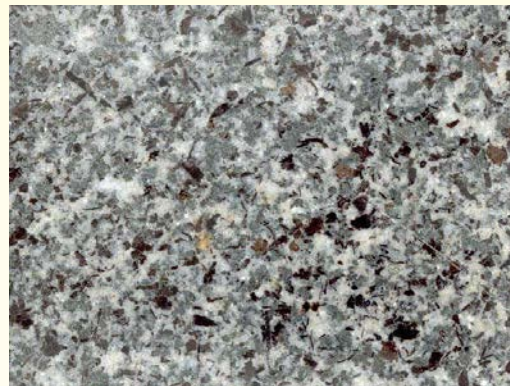
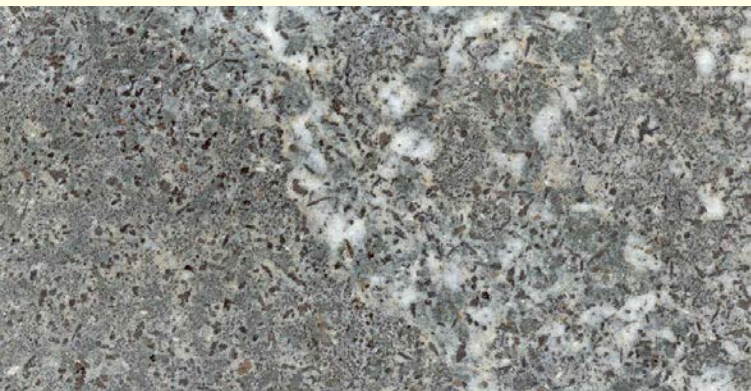
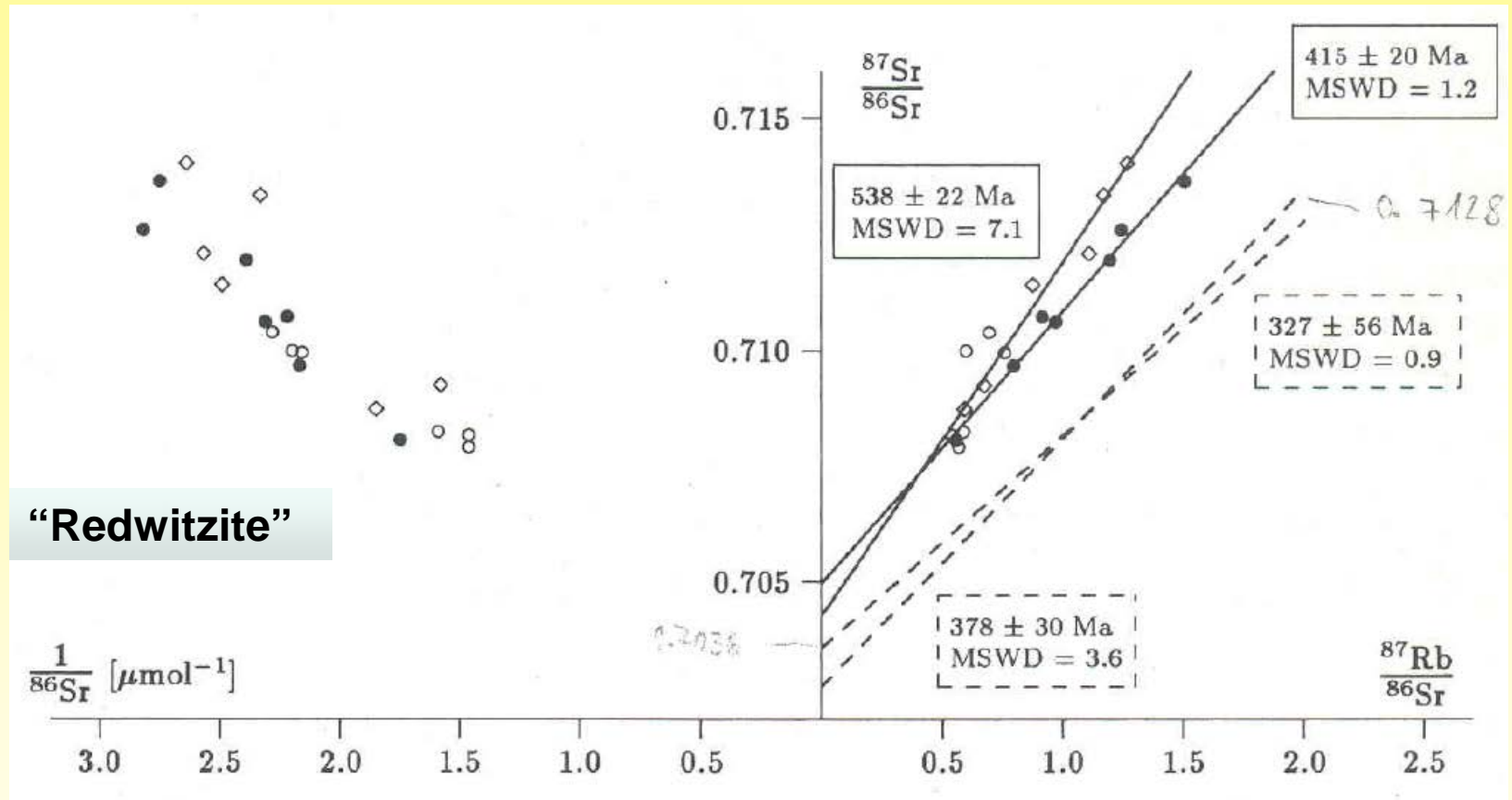
$$\left(\frac{^{87}\text{Sr}}{^{86}\text{Sr}}\right)_M = \left(\frac{^{87}\text{Sr}}{^{86}\text{Sr}}\right)_A \times f_A \left(\frac{\text{Sr}_A}{\text{Sr}_M}\right) + \left(\frac{^{87}\text{Sr}}{^{86}\text{Sr}}\right)_B \times (1 - f_A) \left(\frac{\text{Sr}_B}{\text{Sr}_M}\right)$$



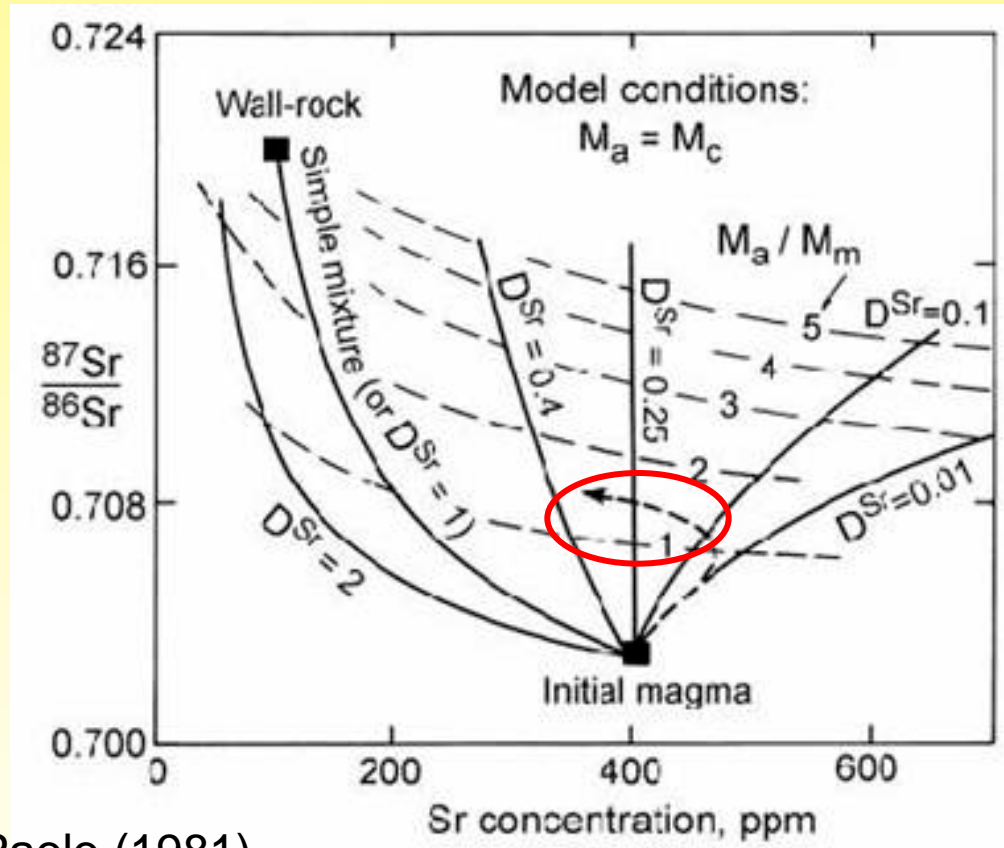
Briquet & Lancelot 1979

G. Faure, 1986, 2001

Isochrone oder Mischungslinie?

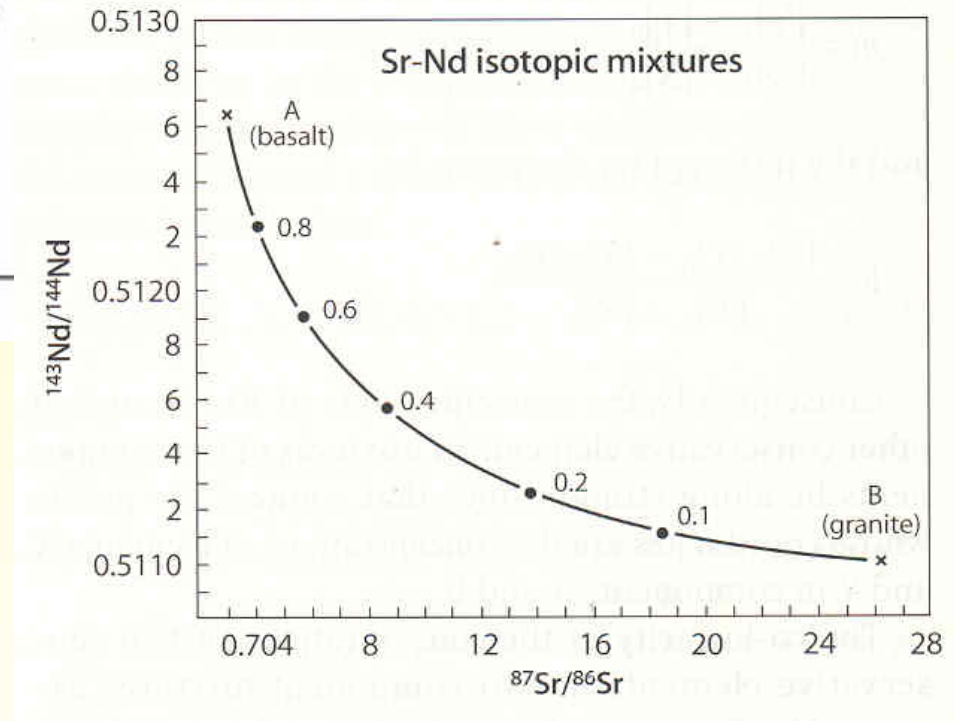
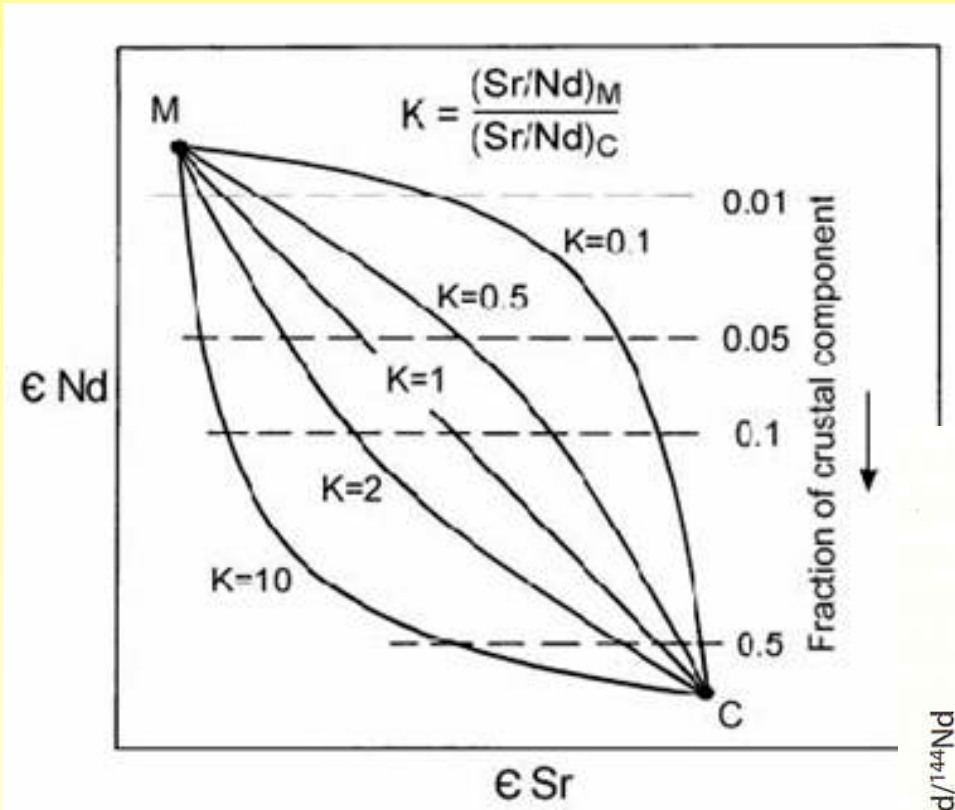


AFC - Prozesse



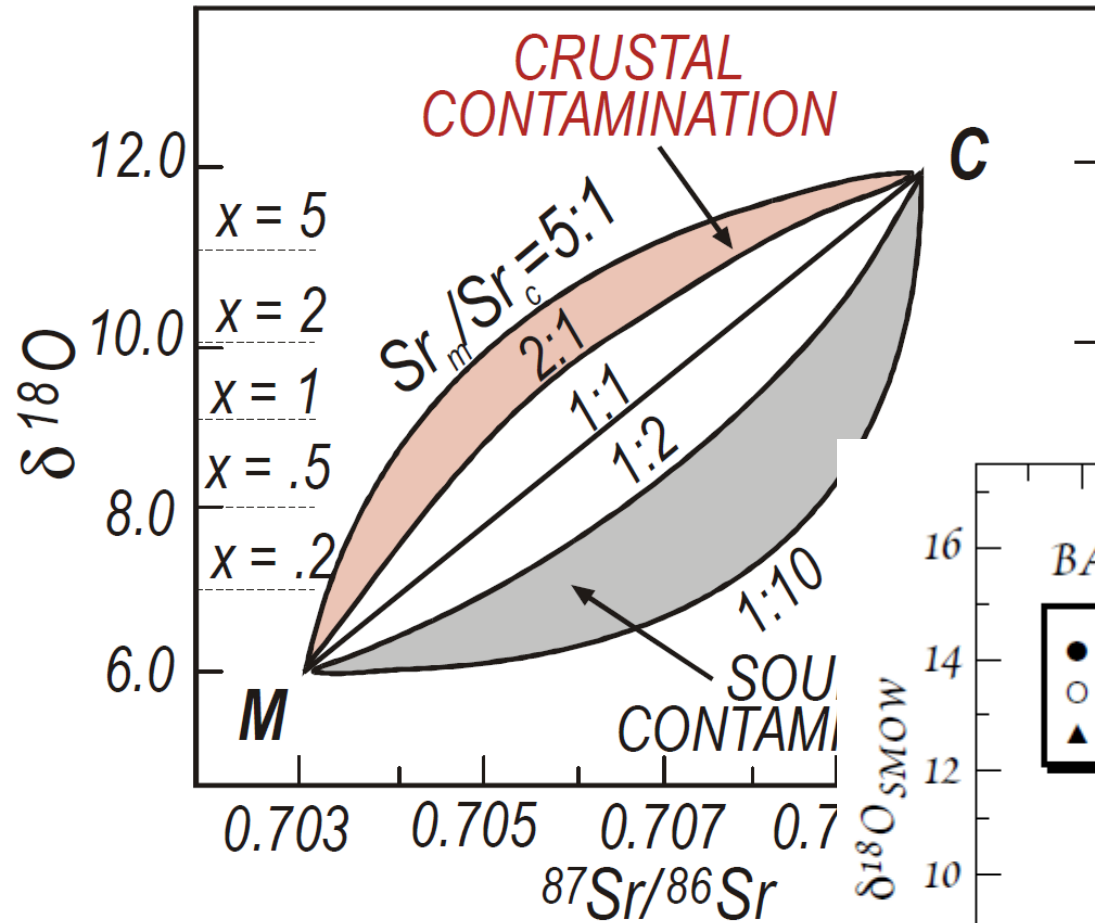
DePaolo (1981)

Krustenkontaminationmodelle

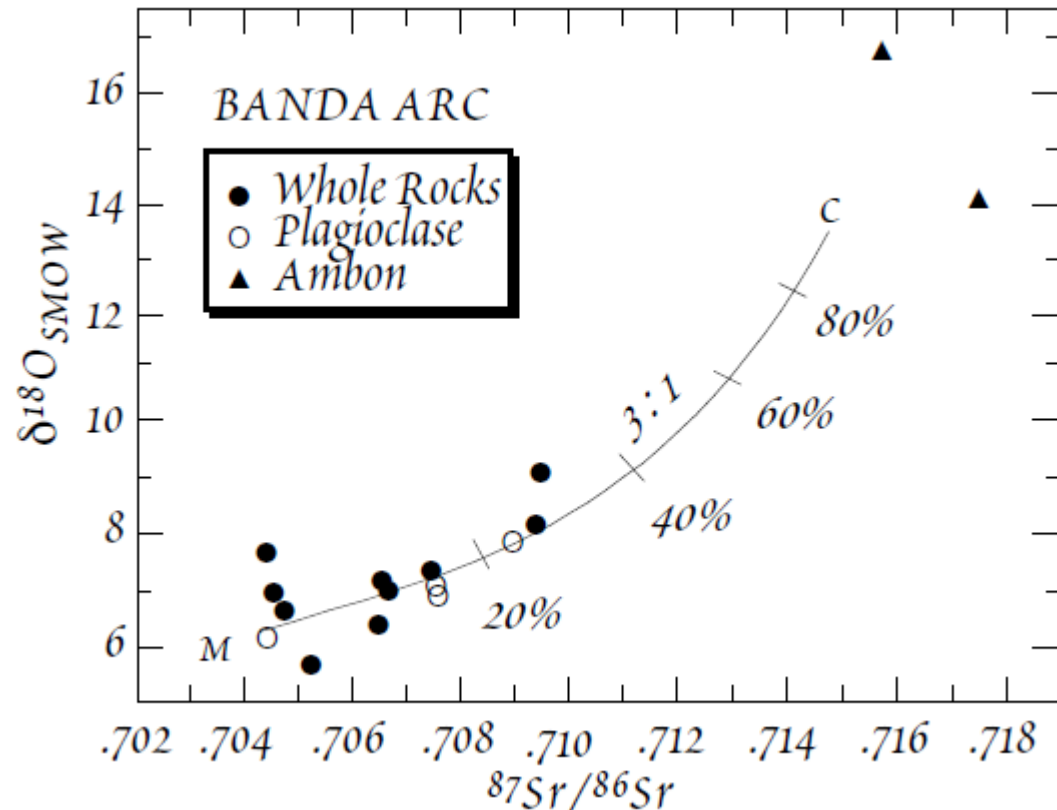


DePaolo & Wasserburg (1979)

Quell- oder Krustenkontamination



White:
 Geochemistry
 Lec. 31



Magaritz et al. (1978) EPSL 40:
 220-230

James (1981) J. Geol Soc Lond
 141:823-830